

**29635**

Ondokuz Mayıs Üniversitesi  
Fen Bilimleri Enstitüsü

SAMSUN BÖLGESİ (BAFRA - ÇARŞAMBA) YUZEY VE İCME  
SULARINDA F<sup>-</sup>, NO<sub>3</sub><sup>-</sup> ve NO<sub>2</sub><sup>-</sup> İYONLARININ İYON SECİCİ  
ELEKTROTLAR İLE TAYİNİ

T-29635

AYLA DEMIRCI

YÜKSEK LİSANS TEZİ

**K.Ü. YÜKSEK ÖĞRETİM KURULU  
DOKÜMANASYON MERKEZİ**

Danışman : Prof. Dr. Mustafa UZCİMDER

Samsun

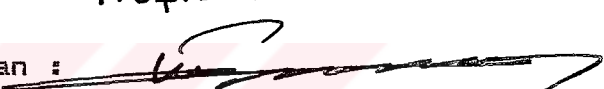
Eylül - 1993

Ondokuz Mayıs Üniversitesi  
Fen Bilimleri Enstitüsü

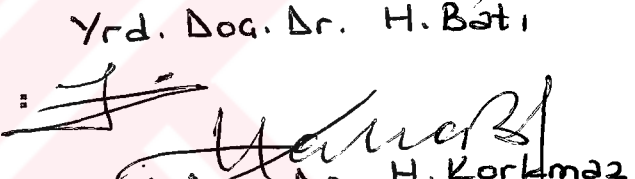
Bu çalışma jürimiz tarafından Kimya Anabilim Dalı'nda  
YÜKSEK LİSANS tezi olarak kabul edilmiştir.

Prof. Dr. M. Özçimder

Başkan :

  
Yrd. Doç. Dr. H. Batı

Üye

  
Yrd. Doç. Dr. H. Korkmaz

Üye :

Yukarıdaki imzaların adı geçen öğretim üyelerine ait  
oldugunu onaylarım 29. 11. / 1993



Prof. Dr. Veyasel KARTAL  
Fen Bilimleri Enstitüsü Müdürü

### III

#### **OZET**

Bu çalışmada, Samsun yöresi akarsuları ( Suat Ugurlu Baraj Gölü Yeşilirmak, Abdal Dereesi, Mert Irmağı, Kurtün Irmağı, Engiz Dereesi, Kızılırmak ) ve şehir içme suyunda altı aylık süre içinde florür, nitrat ve nitrit miktarları iyon seçici elektrotlar ile belirlenmiştir.

Altı ay süresince yapılan ölçümeler sonucunda florür ve nitrat düzeylerinin normal sınırlar içinde yer aldığı dolayısıyle Samsun yöresi akarsuları ve içme suyunda önemli ölçüde florür ve nitrat kirliliği olmadığı ortaya çıkmıştır.

Dünya Sağlık Teşkilatı'ncı nitritin içme sularında kesinlikle olmaması gerektiği bildirilmesine rağmen yaptığımız ölçüm sonuçları önemli boyuttadır. Akarsularda nitrit düzeyi 3.2 ppm değerinin altına hiçbir zaman düşmezken Agustos ayında Suat Ugurlu Baraj Gölü ve Yeşilirmak'ta 258.0 ppm ve Engiz Dere si'nde 365.3 ppm gibi çok yüksek değerler ölçülmüştür. İçme suyunda bulunan değerler minimum 1.03 ppm ve maksimum 11.5 ppm olarak belirlenmiştir.

## SUMMARY

In this thesis, nitrate, nitrite and fluoride concentrations of several rivers in the vicinity of Samsun (Suat Ugurlu Baraj Gölü, Yeşilırmak, Abdal Deresi, Mert Irmağı, Kurtün Irmağı, Engiz Deresi, Kızılırmak) were determined for a period of six months potentiometrically using ion selective electrodes.

It has been found out that as far as fluoride and nitrate concentrations are concerned, the limits given by Turkish Standards (TS 266) and WHO, there is no danger. However, nitrite concentration are extremely high. For instance, in Yeşilırmak 258 and in engiz Deresi 365.3 ppm nitrite were measured. On the other hand as high as 11.5 ppm nitrite level was measured in drinking water of Samsun.

## TEŞEKKÜR

Bu tezin hazırlanmasında değerli bilgileri ile bana destek olan, örneklerin alınmasında soğuk, kış, yağmur demeden Suat Ugurlu Barajı'dan Bafra'ya kadar altı ay boyunca arabasıyla kilometrelerce yol kateden, çalışmamın her safhasında en küçük problemin dahi çözülmesi için üstün gayret gösteren hocam sayın Prof. Dr. Mustafa ÖZCİMDER'e sonsuz teşekkürlerimi sunarım.

Ayrıca yardımlarından dolayı başta hocam sayın Öğr. Gör. Ahmet DEMİR olmak üzere Eğitim Fakültesi Kimya Anabilim Dalı elemanlarına teşekkür ederim.

## İÇİNDEKİLER

1.	GİRİŞ.....	1
1.1.	Su Kirliliği Oluşumu ve Kaynakları.....	1
1.1.1.	Genel Kirleticiler.....	1
1.1.2.	Zehirli Kirleticiler.....	2
1.1.3.	Organik Maddeler.....	3
1.1.3.1.	Aerobik Bozunma.....	4
1.1.3.2.	Anaerobik Bozunma.....	5
1.1.4.	Yaglar.....	6
1.1.5.	Kirlilik Göstergesi Olarak Azot.....	7
1.2.	Flor , Nitrit ve Nitratin Sağlığa Etkileri.....	8
1.3.	Sularda Florür , Nitrat , Nitrit İyonlarının Tayin Yöntemleri.....	10
1.3.1.	Spektroskopik Yöntemler.....	10
1.3.2.	Kromatografik Yöntemler.....	13
1.3.3.	Elektroanalitik Yöntemler.....	13
1.4.	Çalışmanın Amacı.....	16
2.	MATERİYAL ve METOD.....	17
2.1.	Materyal.....	17
2.2.	Metod.....	17
2.2.1.	Standart Çözeltilerin Hazırlanması.....	17
2.2.2.	Kalibrasyon Egrilerinin Çizimi.....	18
2.2.2.1.	Florür Elektrodu İçin Kalibrasyon Eğrisinin Çizimi..	18
2.2.2.2.	Nitrat Elektrodu İçin Kalibrasyon Eğrisinin Çizimi..	19
2.2.2.3.	Nitrit Elektrodu İçin Kalibrasyon Eğrisinin Çizimi..	20
2.2.3.	Elektrotlar ile Ün Deneyler.....	21
2.2.4.	Su Örneklerinde Florür,Nitrit,Nitrat Tayinleri.....	24
3.	SONUÇLAR ve TARTIŞMA.....	36
4.	ÖNERİLER.....	40
5.	KAYNAKLAR.....	41
6.	ÖZGECMİŞ.....	42
7.	EK.....	43

## 1 .      GİRİŞ

Genel olarak tabi dengeyi bozan tüm etkiler kirlilik olarak düşünülebilir. Su kirliliği denilince, suyun kullanım amacını olumsuz yönde etkileyerek şekilde bozulması anlamaktadır. Su kirliliğinin başlica nedenleri şunlardır: Hızlı nüfus artışı, kentleşme, endüstriyel atıklar, tarımda kullanılan gübre ve ilaç kalıntısı bulunduran suların arıtılmadan su kaynaklarına verilmesi. Su kaynaklarının bu şekilde kirlenmesi insan ve diğer canlılar yaşamını etkilemeye, kaynakların amaçlarına uygun olarak kullanılmalarını engellemekte ve çoğu zaman da kaynakların tamamen kullanılamaz hale gelmelerine neden olmaktadır.

Sulara karışan kirleticiler başlica üç bölümde incelenir:

- a. Kimyasal Kirleticiler
- b. Fiziksel Kirleticiler
- c. Biyolojik Kirleticiler

Kimyasal kirleticiler inorganik ve organik kirleticiler olmak üzere iki bölümde incelenir. Inorganik kirleticilerin başında Pb, As, Sb gibi ağır metaller,  $\text{NO}_3^-$ ,  $\text{NO}_2^-$ ,  $\text{SO}_4^{2-}$  gibi diğer anionlar ve katyonlar gelir. Organik kirleticiler klorlu ve fosforlu tarım ilaçları, organik asitler, polisiklik aromatik hidrokarbonlar, kloro-benzenler, fenoller, alkil ve benzen sülfonatlar, yağlar, petrol atıkları, parafinler ve humik asitlerdir.

Fiziksel kirleticiler arasında ısı ve radyasyonun önemi büyüktür.

Biyolojik kirleticiler, mikroorganizmalar ve böceklerden kaynaklanmaktadır.

### 1.1.     Su Kirliliği ve Oluşum Kaynakları

#### 1.1.1.    Genel Kirleticiler

Suyun kirlenmesinin ana kaynakları, evlerden gelen kullanılmış sular ile sanayi kuruluşları tarafından su kaynaklarına verilen

sivi atıklardır. Bunların dışında tarım sahalarından taşınan A-zot ve fosfor bileşikleri bakımından zengin sulama suyu, sızıntıları, erozyon toprakları taşıyan yağış suları, gemi sökümlerleri, sahil doldurmaları ve katı atık boşaltılması gibi kirletici kaynaklar sayılabilir.

#### 1.1.2. Zehirli Kirleticiler

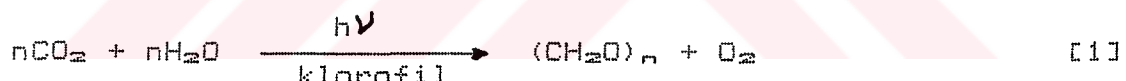
Ağır metaller veya diğer zehirli maddelerden bir yada birkaçını içeren sular organizmalar için zehirleyici etki yapar. Kitle halindeki balık ölümleri çoğu zaman zehirli maddelerin su kaynaklarına verilmesi sonucu ortaya çıkmaktadır.

Bazı pestisitlerin, ağır metallerin ve radyoaktif elementlerin su ortamındaki besin zincirinde birikerek organizmadan organizmaya artan konsantrasyonlar halinde taşıdığı bilinmektedir. Bunlara örnek olarak DDT, civa ve arsenik gösterilebilir. 0.02 ppm konsantrasyonlarında dahi miktarı mikroorganizmalarda 5 ppm gibi yüksek miktarlarda birimketedir. Bu mikroorganizmalarla beslenen balıklarda ise bu değer 2000 ppm'e çıkararak depolanmaktadır. Bu tür balıkları yiyen deniz kuşlarının öldüğü görülmüştür. Bu şekilde ölen bir kuşun cesedinde tespit edilen maksimum DDT konsantrasyonu 1600 ppm olarak bulunmuştur. ( The Practice of Water Pollution Biology by Kenneth M. Mackenthun , FWPCA , 1969 U.S.A ) Civa ve kadmiyumun balıkların bünyesinde biriktigi ve böyle balıkların sürekli yenmesi halinde çeşitli hastalıklara sebep olduğu bilinmektedir. Algların çevredeki arsenik ve kurşunu bünyelerinde biriktirdikleri tespit edilmiştir. Arsenik  $2 \cdot 10^3$ , kurşun ise  $4 \cdot 10^4$  kat konsantr edilerek depolanmaktadır. Radyoaktif maddelerin ise bazı su canlıları bünyesinde  $2 \cdot 10^3$  defa konsantr edilerek birikiği belirlenmiştir. Fenoller ve benzeri kimyasal maddelerin düşük konsantrasyonları bile balıkların ve diğer su ürünlerinin kalite ve tadını bozar. Ağır metaller, pestisitler, radyoaktif maddeler gibi zehirli kirleticilerin biyolojik büyümeye üzerine etkisinin yanı sıra

kronik tesiri de vardır. İstiridye gibi pek çok su canlısı zehirli bir ortam ile karşılaşlıklarında daha temiz bir ortama yönelirler. Bu esnada daha önce almış oldukları zehirli maddeleri vücut dokuları arasında depo ederler. Ölüm, zehirli maddenin dolaşım sistemine geçmesi halinde meydana gelebilir. Bu durum, DDT ve endrin gibi yağ dokularında biriken pestisitlerin canlıının besin bulamadığı ve vücudundaki yağı kullanma ihtiyacı duyduğu zaman ortaya çıkar. Aynı şekilde vücut yağının canlıının üreme sistemine karışması sonucu normal yavru teşekkülüün meydana gelmesi de imkansızlaşır.

#### 1.1.3. Organik Maddeler

Organik veya biyolojik olarak ayırt edilebilen atıklar suda bakterilerin hücumuna uğrarlar. Organik maddelerin ayırmaları sırasında, ortamdaki çözünmüş oksijen konsantrasyonu azaltılmış olur. Kirleticilerin sudaki çözünmüş oksijen konsantrasyonu üzerindeki etkilerini aşağıdaki olaylarla kısaca görebiliriz. Bitkilerin büyümesi ve fotosentez olayı basit olarak ;



denklemi ile ifade edilebilir.

Yukarıdaki denklemde göre bitkiler fotosentez olayı ile karbondioksidi oksijene çevirirler. Formaldehit ve oksijen reaksiyona girerler ve reaksiyon sonunda bir enerji açığa çıkar. Bu enerji formaldehitte, karbon, hidrojen ve oksijen baglarında depo edilir.

Bitkiler genellikle besin maddesi olarak, inorganik maddeleri kullanırlar ve yüksek enerjili moleküller meydana getirirler. Hayvanlar bu yüksek enerjili molekülleri yediklerinde sindirim esnasında bu enerjinin bir kısmı açığa çıkar ve hayvan tarafından kullanılır. Son sindirim ürünlerini kısmen kararlı bileşiklerdir. Bu bileşikler diğer organizmalar tarafından besin ola-

rak kullanılır ve böylece tekrar bozunurlar. Bu bozunma hızı yavaştır. Birkaç benzer basamaktan sonra oluşan çok düşük enerjili bileşikler mikroorganizmalar tarafından kullanılır. Bitkiler ise bu bileşikleri daha yüksek moleküllü hale dönüştürürler.

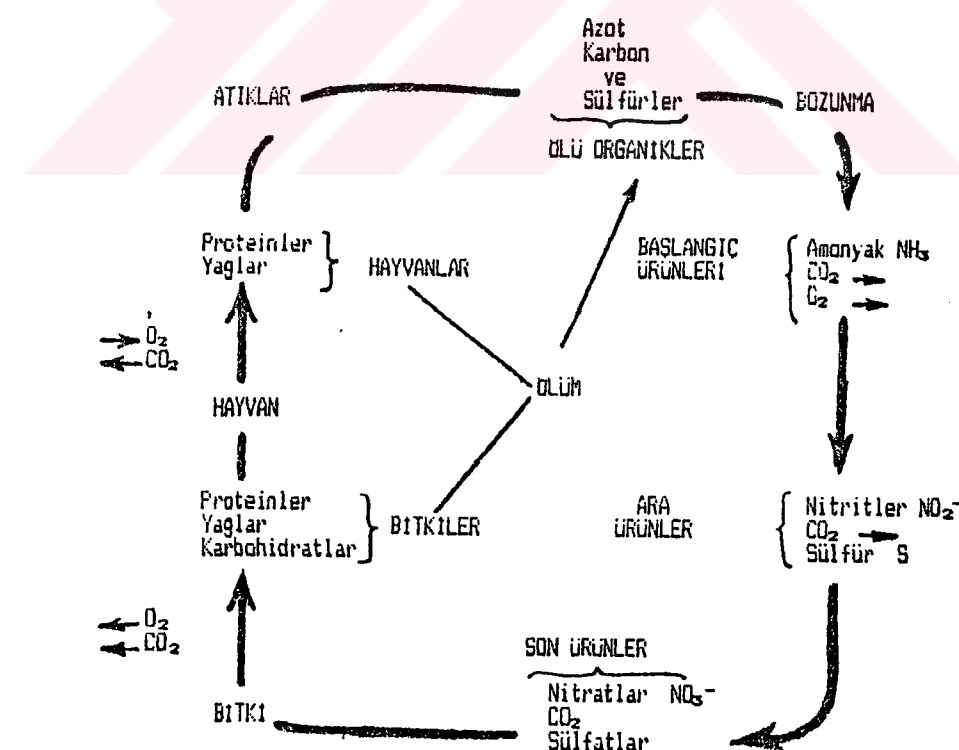
Biyolojik bozunma iki şekilde meydana gelir:

- a. Aerobik Bozunma
- b. Anaerobik Bozunma

#### 1.1.3.1. Aerobik Bozunma



Şekil 1.1'de karbon, kükürt ve azot bileşiklerinin aerobik bozunma halkası şematik olarak gösterilmiştir.



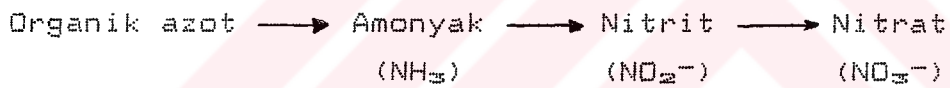
Şekil 1.1. Aerobik azot, karbon ve kükürt çevrimi

Yukarıdaki denklème göre karbondioksit ve su aerobik bozunmanın ürünüdür. Her iki ürün de kararlıdır, düşük enerjiliidir ve fotosentez olayında bitkiler tarafından kullanılır. Eğer kükürt bileşikleri reaksiyonda yer alırsa, en kararlı ürün olarak  $\text{SO}_4^{2-}$  oluşur. Kükürt bileşiklerinin en önemli kaynağı jibs mineralidir.

Eğer fosfor bileşikleri reaksiyonda yer alırsa, en kararlı ürün olarak o-fosfat iyonu oluşur. Fosfatlar yüzey ve yeraltı sularında, minerallerden veya madenlerden tabi parçalanma sonucu meydana geldikleri gibi tarımdan dönen suların sonucu olarak da bulunabilirler.

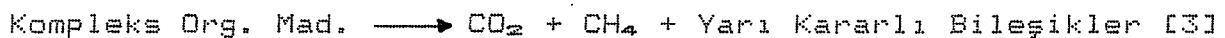
Ortamda toplam organik karbonlar, humik maddelerden ve sanayi atıklarından meydana gelmektedir.

Ortamda azot birkaç basamak sonunda Şekil 1.1'de de görüldüğü gibi son ürün olarak nitratla dönüşür.



Azot suda tabi olarak bulunan bileşiklerden meydana geldiği gibi, tarımsal amaçlarla kullanılan gübrelerin suya karışmasından da ileri gelmektedir. Ortamda çeşitli bileşikler halinde bulunan azot kirlilik belirtisidir.

#### 1.1.3.2. Anaerobik Bozunma



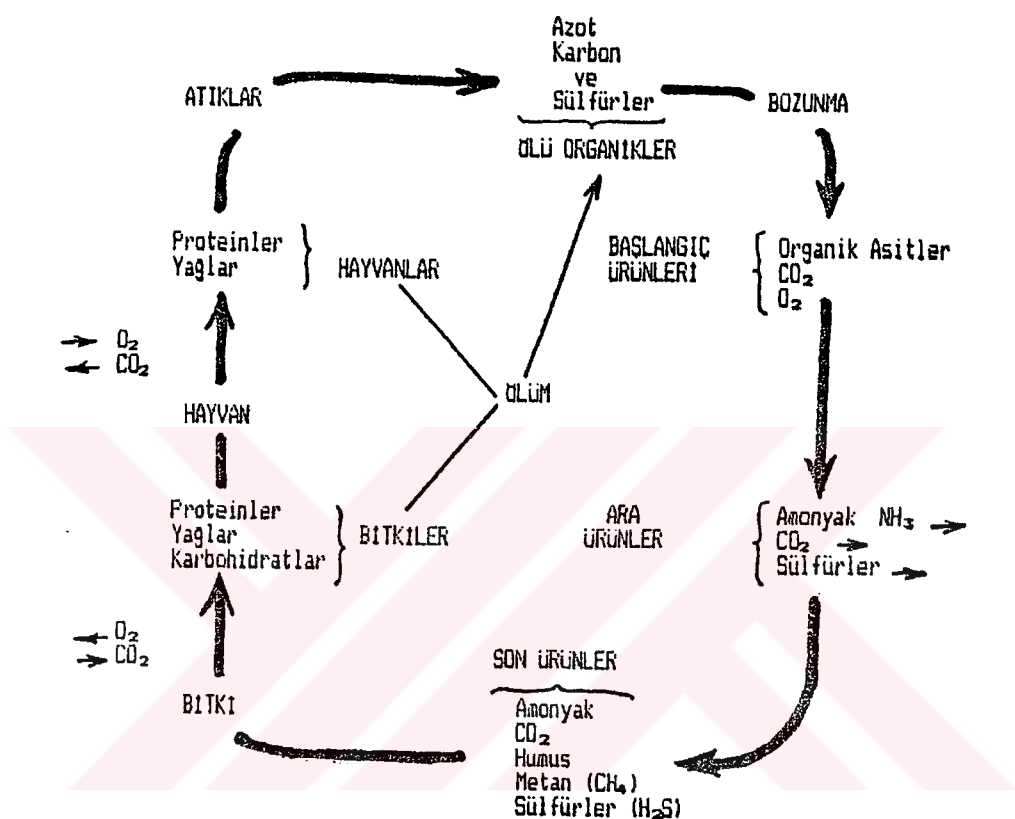
Anaerobik bozunma halkası Şekil 1.2'de şematik olarak gösterilmiştir.

Ürünlerin birçoğu kararsızdır.  $\text{CO}_2$ ,  $\text{CaCO}_3$  ve  $\text{Ca}_3(\text{PO}_4)_2$  gibi kalsiyum bileşiklerini etkileyerek  $\text{Ca}(\text{HCO}_3)_2$  ve  $\text{Ca}(\text{H}_2\text{PO}_4)_2$  haline dönüşmesini sağlar.

Anaerobik bozunmada azot bileşikleri sadece amonyak şeklinde kararlı olabilir. Kükürt bileşikleri ise  $\text{H}_2\text{S}$  son ürünü şeklinde kararlı olabilir.

Hidrojen atomları, yüksek enerjili organik moleküllerden kopa-

rak çeşitli bileşiklere tutunabilirler. Aerobik bozunmada oksijen, hidrojen alıcıdır ve su oluşur.



**Sekil 1.2. Anaerobik azot, karbon ve kükürt çevrimi**

Anaerobik bozunmada, serbest oksijen bulunmaz, hidrojen alıcı element azottur ve amonyak oluşur. Anaerobik bozunmada nitrit ve nitrat oluşmaz. Eğer ortamda azot yoksa, hidrojen alıcı element kükürt olur ve sonuçta H<sub>2</sub>S oluşur.

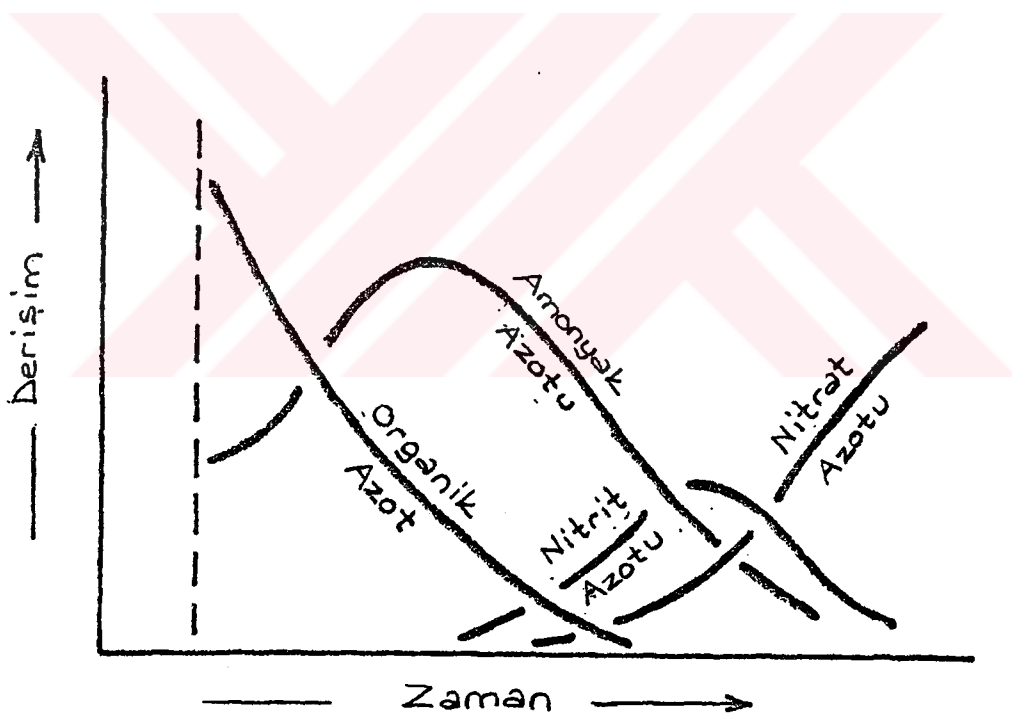
#### 1.1.4. Yağlar

Suda kirlenme meydana getiren yağlar, ya petrokimya tesisleri ve rafinerilerinden yada deniz kazalarından ileri gelebilir. Su üzerindeki yağlar, kuşların uçma yeteneğini azaltır, vücuda giren yağ zehirli etki yaparak kuşların ölümüne neden olur.

#### 1.1.5. Kirlilik Göstergesi Olarak "Azot"

Daha önce de belirtildiği gibi azotlu bileşikler akarsu ve göllerde tabii organik ve inorganik maddelerin bozunmasından sanayi ve zirai atıklarından gelmektedir. Bu ilk maddeler Şekil 1.1 ve 1.2'de gösterildiği gibi aerobik veya anaerobik bozunma ile amonyak, nitrit ve nitrat bileşiklerine dönüşmektedirler. Bu nedenle azot bileşikleri kirlilik göstergesi olarak kullanılabilirler.

Bir akarsu boyunca kirlilik noktasından itibaren oluşan azot bileşiklerinin derişimi Şekil 1.3'de gösterilmiştir.



**Sekil 1.3. Kirlenme sonrası nehirde azot bileşikleri**

Kirletici bölgenin hemen arkasından aerobik ve anaerobik bozulma ile amonyak oluşurken, organik azot azalmaktadır. Organik azot belirteci olarak Kjehldal azotu ölçülür. Daha sonra, önce nitrit artıp arkasından azalma gösterirken, son ürün olarak

nitrat oluşumu gerçekleşir.

Göllerde ise fosfatlı bileşiklerle beraber azot bileşikleri önceleri çözünmüş oksijen kullanarak alg oluşumuna neden olur. Oksijenasyonun yeteri kadar hızlı olamaması ve sıcaklığın etkisi ile gölde "ötrafikasyon" adı verilen göl ölümü meydana gelir.

#### 1.2. Flörür , Nitrit ve Nitratin Sağlığa Etkileri

Vücudun diş ve kemik dokularında depolanan flor elementinin, su ve besinlerden yeterince alınmaması flor eksikliğine neden olur. Suda çözünen florun başlıca kaynağı içme suyudur. Ayrıca suda ki ve topraktaki flor miktarına bağlı olarak birçok yiyecekte az yada çok miktarda flor bulunur. Uzmanlar suda milyonda bir oranda florürün özellikle sodyum florür şeklinde diş çürüklenmesinde ve kemik gelişiminde yararlı olduğunu öne sürümüşlerdir. Florun ayrıca bebek ve çocuklarda raşitizm olasılığını azalttığı, yetişkinlerde bazal metabolizma hızını normal düzeyde tutmak için gerekli olan tiroid salgısını etkilediği bilinmektedir. Çok az miktardaki florun ağızındaki bakterilerin asit üretimini engellediği de saptanmıştır. Florun fazla miktarda ve bir seferde ağızdan alınması hızlı ölüm yol açar. Suda çözünmüş florürlerin az miktarda ( milyonda 6-8 ) fakat uzun süre alınması çocuklarda diş minelerinde lekelenme yapar, ancak kemikleri etkilemez. Daha fazla miktarda flor bileşiklerinin uzun süre alınmasından ileri gelen flor zehirlenmesinde ise zamanla kemiklerde kalsiyum eksikliğine yol açarak kemiklerin yumuşamasına, kolayca uflatmasına, matlaşarak tebeşir rengine dönmesine ve ( olmaması gereken yerlerde ) kemik çıkışlılarına neden olur. Erken evrede pek az belirti veren bu kronik zehirlenme, ileri evrelerde kas tutukluğu omurorganın hareket yeteneğini yitirmesi ve omurilik sinirlerinin ezilmesinden kaynaklanan çeşitli nörolojik belirtilerle tanımlanır. Kronik flor zehirlenmesi daha çok çevre kirliliği olan bölgelerde, aluminyum madenlerinde, böcek ilaçları sanayiinde ve fosfatlı gübre fab-

rikalarında çalışan işçilerde, ayrıca doğal su kaynaklarının florürlerce zengin olduğu yerlerde yaşayan insanlarda görülür. İnsan ve hayvanlarda aşırı miktarda nitrat ve nitrit alınmasına bağlı olarak değişik derecelerde zehirlenme belirtileri gözlenmektedir. Hayvanlarda nitrat zehirlenmesinin belirtileri olarak solunum güçlüğü, damarların genişlemesi, kan basıncında düşme, süt salgısının azalması, yavru atma, A avitaminozis ve tiroid fonksiyonunda bozukluklar gözlenmiştir. Nitrat ve nitrit gerek insanlar tarafından tüketilen sebzelerde gerekse hayvansal yemlerde yüksek konsantrasyonlara ulaşabilir. Ülkemizde üretilen hayvan yemlerinde nitrat ve nitrit düzeylerinin yüksek olabildiği ve hayvanlar tarafından uzun süre fazla miktarda tüketildiklerinde zehirlenmeye yol açabileceği ileri sürülmüştür. Nitrat ve nitrit et ve süt ürünlerine ilave katkı maddesi olarak kullanılır. Nitratın nitrite dönüşmesi canlı organizmada meydana gelebileceği gibi sulu gıdalarda veya aşırı derecede mikroorganizma taşıyan organik maddeler ile kirlenmiş sularda da oluşabilir.

Sebze ve yem bitkilerinde nitratın birikmesi türler arasında önemli farklılıklar gösterir ve bu birikim çok sayıda faktörün etkisi altındadır. Bunlar arasında kuraklık, don, zararlı otla mücadele ve ışık yetersizliği sayılabilir. Bu faktörler, hem bitki köklerinin topraktan azot almalarını kolaylaştırıcı hem de bitkilerin büyümelerini sınırlayıcı bir etkiye sahiptir. Son yıllarda nitrat ve nitritin kanserojen bir etkiye sahip olduğu belirtilmektedir. Asitli ortamda nitratın indirgenme ürünü olan nitrit sekonder aminlerle ve N substitüe amidlerle reaksiyona girerek N-nitroso bileşikleri oluşturabilir. Nitrat ve nitrit N-nitroso bileşiklerinin yapı kaynağıdır ve bu bileşiklerin, birçok laboratuvar hayvanlarında kanserojen etkiye sahip olduğu belirlenmiştir.

Nitrat ve nitritin doğumdan sonra özellikle ilk altı ay içinde bebekler tarafından alınması methemoglobinemiye yol açabilir. Sularda 45 ppm'den daha fazla miktarda nitrit bulunması bebek-

lerde akut zehirlenmeye yol açabilir. Nitrat insanlarda kalp fonksiyonunu da etkileyebilir. Ruminantlar tarafından gıdalarla birlikte alınan nitrat rumende nitrit ve amonyaga indirgenir. Yüksek miktarlarda nitrat alınmasından sonra rumende biriken nitrit daha sonra nitrat ve amonyak ile birlikte doğrudan kana geçer. Nitrit kanda bulunan oksihemoglobini methemoglobine dönüştürür. Kana geçen nitrit, nitrata okside olurken nitrat tekrar nitrite dönüşmez ve idrarla vücuttan dışarı atılır. Yemlerde yüksek miktarlarda nitrat bulunduğu zaman, nitratın nitrite indirgenme hızının nitritin amonyaga indirgenme hızından daha fazla olabileceği bildirilmektedir. Rumende bu şekilde oluşan nitrit daha sonra kana geçerek başlıca şu etkilere neden olur:

- a. Kanda hemoglobinin methemoglobine dönüşmesi sonucu anoksiya oluşması
- b. Kan basıncında aşırı düşmeye bağlı olarak hemodinamik bozuklukların meydana gelmesi
- c. Kanserojenik etkiye sahip nitrosaminlerin şekillenmesi

Nitritin başlıca etkisi hemoglobini methemoglobine dönüştürmektedir. Hemoglobinin oksijen taşımasına karşılık methemoglobin oksijen taşıyamaz. Hemoglobinin methemoglobine dönüşmesi organizmada normal şartlar altında da meydana gelir. Ancak alyuvarlarda bulunan redüktaz enzimi oluşan methemoglobini sürekli olarak hemoglobine dönüştürür. Enzimin çalışmaması kalitsal methemoglobinemisi neden olur (1).

### 1.3. Sularda Nitrit, Nitrat, Florür İyonlarının Tayin Yöntemleri

#### 1.3.1. Spektroskopik Yöntemler

TS 266'da sularda florür tayini alizarin metodu ile verilmişdir. Florür iyonları renkli bir madde olan 3-alizarin sulfonyik asit sodyum tuzu ile uygun koşullarda renksiz bir kompleks olan  $ZnF_6^{2-}$  anyonunu meydana getirirler. Oluşan kompleksin 570 nm'de

absorpsiyonu ölçülür. Bu metod 0.05-1.4 mg F<sup>-</sup>/L aralığında florür bulunduran sulara uygulanabilir (2).

Palacious bir elektrotermal grafit fırında florür iyonlarını AlF şekline getirip 227.45 nm'de absorpsiyonu ölçmüştür(3). Bir başka spektroskopik metotda florürün Sc ile çözünebilir bir kompleks oluşumu sağlanarak miktarı belirlenmiştir (3). Metod 0.05 - 1.5 mg F<sup>-</sup>/L aralığında uygulanmıştır. Atmosferde florürün belirlenmesi için flow -injection spektroskopik yöntem geliştirilmiştir (3). Metod sülfovloro S ile Zr kompleksinin oluşumunda florürün katalitik etkisine dayandırılmaktadır. Doğrusal çalışma aralığı 0.02 - 2.0 mg F<sup>-</sup>/L bulunmuştur.

Haj-Hussein ve Al -Momani (3) Zr - SPANDS kullanarak benzer bir metod geliştirmiştirlerdir. Bu yöntemde spektroskopik ölçüm 590 nm'de yapılmış ve doğrusal çalışma aralığı 0.02-3.5 mg F<sup>-</sup>/L bulunmuştur. Chen'in flow -injection analizinde (3) Üçlü bir kompleks [Zr(IV) - Calcein mavisi - florür ] bir akış hücresında oluşturulmuş ve 335 nm'de uyarılıp 405 nm'de florimetrik olarak detekte edilmiştir. Doğrusal çalışma aralığı 1-40 mgF<sup>-</sup>/L olarak bulunmuştur. Manzoori ve arkadaşları plasmada florun belirlenmesi için atomik emisyon spektroskopik yöntem kullanmışlardır (4). Flor La/alizarin ile kompleks haline getirildikten sonra 333.75 nm'de absorpsiyonu ölçmüştür.

TS 266'da sularda nitrat tayini, fenoldisülfonik asit metodu ile verilmiştir. Bu metod 0.044 mg NO<sub>3</sub><sup>-</sup>/L ve daha fazla nitrat bulunduran sulara uygulanır. Nitrat iyonu fenoldisülfonik asiti ile renkli bir kompleks meydana getirir. Oluşan bu sarı renkli kompleksin 410 nm'de absorpsiyonu ölçülerek kantitatif analiz yapılır. Mori ve Imai nitratı indirgemek için NaBH<sub>4</sub> kullanmışlardır ve spektroskopik olarak ölçüm almışlardır. Bu metodla musluk suyunda 210-230 nm aralığında doğrudan absorpsiyon ölçümlü nitrat belirlenmiştir (3). Cherian ve Gupta amonyaklı ortamda nitratı nitrite indirgemek için çinko tozu kullanmışlardır (3). Nitrit, N (1 - naftil) etilen diamin ile mor renkli

p - amino aseto fenon kompleksine dönüştürülmüş ve 545 nm'de absorpsiyonu ölçülüştür. Bu metotta, 0.1 mg NO<sub>2</sub><sup>-</sup>/L'den düşük miktarlara uygulanabildiği ileri sürülmüştür.

TS 266'da nitrit tayini sülfanilik asit metodu ile verilmiştir. Bu metodla en az 1 g/L nitrit azotu veya 3.3 g /L nitrit tayin edilebilir. Nitrit iyonları pH = 2.0 - 2.5'de sülfanilik asidi diazolar ve diazolanmış sülfanilik asit ile naftilamin hidroklorür kırmızımsı pembe renkli bir kompleks meydana getirir. 520 nm dalga boyunda absorpsiyonu ölçülerek kantitatif tayin yapılır. Tarafder ve Rathare'nin (5) geliştirdiği yönteme de nitrit p - aminofenil merkaptoasetik asit ile hidroklorik asitli ortamda diazonyum katyonu haline getirildikten sonra asitli ortamda kararlı bir azo bileşigine dönüştürülmüş ve 565 nm'de absorpsiyonları ölçülüştür. Nakamura ve arkadaşları (6) asidik ortamda nitritin, 5,7-dihidroksi-4-imino-2-oksokrom reaktifi ile hızlı bir şekilde reaksiyonunu sağlamışlar ve oluşan nitrit-5,7-hidroksi-4-imino-2-oksokroman bileşiginin absorpsiyonu ölçmüştürlerdir. Bir başka spektroskopik yöntem (3), nitritin asitli ortamda salbutamol sülfat ile reaksiyona girmeşi ve 410 nm'de absorpsiyonunun ölçülmesine dayanır. Yöntemde doğrusal çalışma aralığı 1.8 - 28 mg NO<sub>2</sub><sup>-</sup>/L olarak bulunmuştur. Cai ve Hu komplekleştirmeli olarak Rodamin 6G kullanmışlar, absorpsiyon ölçümelerini 445 nm'de yapmışlardır (3). Metodun uygunlabilirme aralığı 0 - 3.3 mg NO<sub>2</sub><sup>-</sup>/L bulunmuştur. Alkali ortamda resorsinol ile nitritin birleşmesi ve p - nitro anilin ile diazolanmasına dayalı spektroskopik yöntemler geliştirilmiştir (7) 8 fenil amino - 1 - naftalensülfonik asit ya da N - etil - 1 - naftil amin ile 4 - amino benzensülfonik asitin diazolanmasıyla diazonyum oluşturulmuştur (7). Alkali ortamda 1-hidroksi -2-naftanik asit ile p - amino benzoik asitin diazolanması sık kullanılan yöntemlerdendir (7). Bütün bu yöntemler, oluşan azo bileşiklerin absorpsiyonlarının ölçülmesi esasına dayanır. Benzer bir biçimde Sunita ve Gupta (7) hidroklorik asitli or-

tamda p-nitroanilin ile nitriti diazolamışlar ve alkali ortamda guayakol ile oluşan turuncu-kırmızı azo bileşiginin 540 nm'de absorpsyonunu ölçmüştürlerdir. Yöntemin doğrusal çalışma aralığı 0.12 - 0.8 mg NO<sub>2</sub><sup>-</sup>/L olarak bulunmuştur. Braman ve arkadaşları su numunelerindeki nitriti, vanadyum içeren asitli ortamda oda sıcaklığında, nitrik okside indirgemışlar, helyum ile çözeltiden uzaklaştırılan nitrit NOx analizör ile detekte edilmiştir. Bu metodun avantajı (8) nitratın indirgenmesi için asidik ortama gerek olmayışıdır.

### i.3.2. Kromatografik Yöntemler

Mitsuhashi Takao nitritin belirlenmesi için bir gaz kromatografik yöntem geliştirmiştir (9). Nitrit, etil - 3 - okso - bütanol haline getirilmiş, oluşan EHOB etil asetat ile ekstrakte edilmiş ve elektron yakalama detektörlü gaz kromatograf ile belirlenmiştir. İnsan tükrüğü ve nehir suyunda nitrit belirlenmesinde bu metod başarı ile uygulanmıştır. Yöntemin en düşük tayin sınırı 2 ng, geri alınabilirlik % 94 - 100 dolaylarındaır. Kim Hie - Joon ve Young - Kyung Kim elektrokimyasal detektör kullanarak iyon kromatografisinde içme suyu ve çevreden alınan numunelerde nitriti belirlemiştirlerdir (10). Rokushika (3) deniz suyundaki nitrat ve nitritin belirlenmesi için UV detektörlü iyon kromatograf kullanmıştır.

### i.3.3. Elektroanalitik Yöntemler

McQuaker ve Gurney (11) eritme işleminden sonra, hidroklorik asitte toprak ve bitki numunelerini çözmüşler ( pH = 5.2 ) ve iyon seçici elektrot ile florür iyonu ölçümleri yapmışlardır. Başka bir metotda Villa (11) bitkisel materyallerden 0.1M HC1O<sub>4</sub> ile aldığı ekstraktta nitratı iyon seçici elektrot ile kantitatif olarak tayin etmiştir. Geri alınabilirlik % 98 -102 bulunmaktadır.

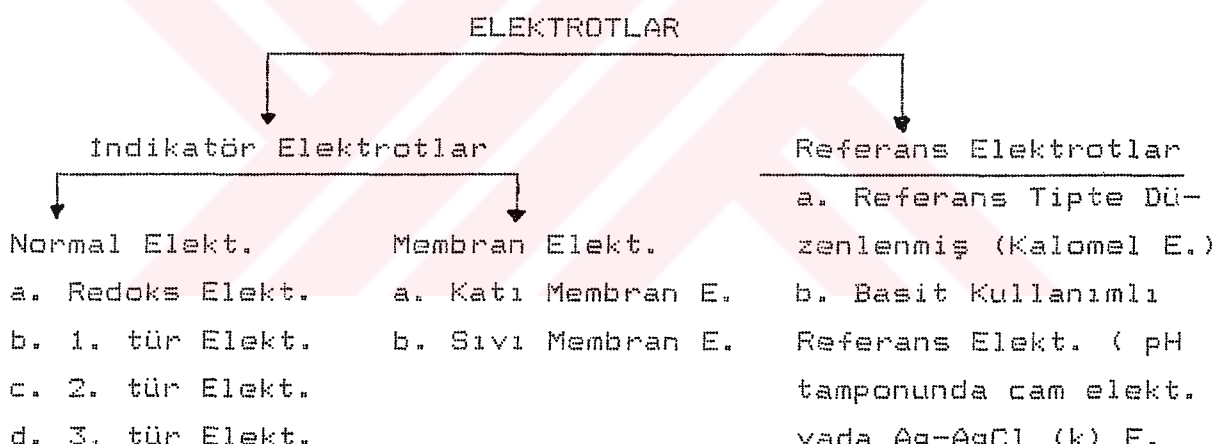
Myer ve Paul sulu toprak ekstraktlarında yine iyon seçici elektrotlar ile nitrat iyonu ölçümleri yapmışlardır (11).

Francis ve Malone (12) asitli ortamda nitriti diazonyum tuzu ile kompleks haline getirmiş ve kanıtatif analiz potansiyometrik olarak gerçekleştirmiştir.

Iyon seçici elektrotların son zamanlarda sık kullanılması nedeniyle aşağıda bu konu ile ilgili ayrıntılı bilgi verilmiştir.

### Iyon Seçici Elektrotlar

Elektrotlar çeşitli şekillerde sınıflandırılmaktadır. Bir tür sınıflandırmada elektrotlar önce indikatör ve referans elektrotlar olmak üzere iki bölüme ayrılır. Daha sonra aşağıdaki şekilde olduğu gibi alt bölmelere ayrılır.



1. tür Elektrod : Metal/Metal İyon Elektrodları
2. tür Elektrod : Metal/Cözünebilen Tuzu yada Metal/ Metal Oksit Elektrodları
3. tür Elektrod : Civa(II) Şelatına Bağlı Civa Elektrodu

Bir başka sınıflandırma uygulanan yönteme göre yapılmaktadır. Potansiyometrik yöntemlerde kullanılan membran indikatör elektrotlar aşağıdaki şekilde sınıflandırılmıştır.

- a. Cam Elektrotlar
- b. Kati-Iyon Seçici Membran Elektrotlar
- c. Sıvı-Sıvı Membran Elektrotlar
- d. Enzim ve Gaz Seçici Elektrotlar

Bu çalışmada kullanılan florür ve nitrit seçici elektrotlar katı-iyon seçici membran elektrotlar sınıfına girmektedir. Katı-iyon seçici elektrotlar, iyonik bileşimde bir membran içerir. Bu tür elektrotlar homojen ve heterojen olmak üzere iki şekilde olabilir. Homojen elektrotlar tek bir kristal bileşiminde ya da preslenmiş küçük bir materyalden oluşabilir. Homojen elektrotlara örnek  $\text{LaF}_3$  elektroodu verilebilir.

Heterojen elektrotlar silikon, kauçuk, PVC ya da diğer polimerik materyaller gibi orta kısmında birleştirilmiş bir katı materyalden oluşmuştur. Bunların hazırlanması genellikle homojen elektrotlardan daha basittir.

Homojen bir elektrot olan florür elektrodunda  $\text{LaF}_3$ , oluşan aktif bir materyal vardır ve  $\text{LaF}_3$ ,  $\text{Eu}(\text{II})$  ile karıştırılmıştır.

$\text{Ag}/\text{AgCl}(\text{k}), \text{Cl}^- (0.1), \text{F}^- (0.1)/\text{LaF}_3/\text{test çözeltisi} // \text{referans elek}$   
Yukarıdaki hücreye Nernst kuralını uyguladığımızda,

$$E = \text{sabit} + \frac{RT}{F} \ln \frac{(a_F)_{\text{İç}}}{(a_F)_{\text{Dış}}} \quad [4]$$

$(a_F)_{\text{İç}}$  : membran içi florür aktivitesi (sabit)

$(a_F)_{\text{Dış}}$  : çözeltideki florür aktivitesi

Sabit değerler bir araya getirilip, aktiviteler yerine derişimler alınırsa eşitlik aşağıdaki şekilde düzenlenir.

$$E = \text{sabit} - 0.0596 \log[\text{F}^-] \quad (t = 25^\circ\text{C}) \quad [5]$$

Hücre potansiyelini yalnızca florür derişimine bağlı olarak veren eşitlik 5 elde edilir.

Florür tayininde hidroksil girişim yapar. Bu nedenle pH tampon çözelti ile sabit tutulur. Tavsiye edilen tampon ; 0.25 M asetik asit, 0.75 M sodyum asetat, 1 M  $\text{NaCl}$  ve 1 mM sodyum sitrat. Çalışmamızda  $\text{pH} > 6$  olduğu için tampon çözeltiye gerek duyulmadı.

Florür elektrot potansiyeli eşitlik 5 kullanılarak aşağıdaki şekilde yazılabilir.

$$E = \text{sabit} + S \log[F^-] \quad [6]$$

E : İyonmetrede okunan elektrod potansiyeli  
 S : Kalibrasyon eğrisinin sapma açısı (elektroda göre değişebilir). Tek yüklü iyonlar için genellikle 50-60 mV aralığında değişir.

[F<sup>-</sup>] : Test çözeltisindeki florür derişimi

Kullanılan nitrit seçici elektrot potansiyeli eşitlik 5'e göre düzenlenirse aşağıdaki eşitlik elde edilir.

$$E = \text{sabit} + S \log[NO_2^-] \quad [7]$$

[NO<sub>2</sub><sup>-</sup>] : Test çözeltisindeki nitrit derişimi

Çalışmada kullanılan nitrat seçici elektrodu, sıvı - sıvı membran elektrodudur. Elekrot PVC bir membran ile inert florokarbon bir gövdeden oluşmaktadır. Membran Ünitesinin sonuna iyon seçici membran yapıştırılmıştır. Membran Ünitesi içindeki çözelti, membran ve gümüş/gümüş klorür elektodu arasında bağlantı kurar. Seçici membran poli(vinil klorür) matriksi içinde sabitleştirilmiş sıvı iyon değiştirici bir materyalden oluşmuştur. Aynı şekilde elektrot potansiyeli eşitlik 5'e göre düzenlenirse nitrat elektrodu için aşağıdaki eşitlik elde edilir.

$$E = \text{sabit} + S \log[NO_3^-] \quad [8]$$

[NO<sub>3</sub><sup>-</sup>] : Test çözeltisindeki nitrat derişimi

#### 1.4. Çalışmanın Amacı

Samsun ve yöresi akarsularının kirlilik envanterini çıkarmaya yönelik geniş kapsamlı bir araştırmmanın bir bölümü olan nitrit, nitrat ve florür düzeylerinin belirlenmesi bu çalışmada amaçlanmıştır. Özellikle çevredeki bazı kuruluşların neden olduğu ileri sürülen florür kirliliğinin belirlenmesi ile yıllardır süregelen bir speküasyona da açıklık getirmek çalışmanın bir diğer amacıdır.

## 2. MATERİYAL ve METOD

### 2.1. Materyal

$\text{KNO}_3$  ( Merck , Analitik Saflıkta )

KF ( Merck , Analitik Saflıkta )

$\text{NaNO}_2$  ( Merck , Analitik Saflıkta )

Destile su

Florür İyon Seçici Elektrodu ( ELIT 221 )

Nitrit İyon Seçici Elektrodu ( ELIT 071 )

Nitrat İyon Seçici Elektrodu ( MODEL EE-N )

Referans Elektrodlar

İyonometre ( JENWAY 3020 )

Su örnekleri Yeşilirmak Üzerindeki Suat Ugurlu Barajı (43 km), Çarşamba Köprüsü (29 km), Abdal Derezi (6.5 km), Samsun Mert Irmağı (1 km), Samsun Kürtün Irmağı (100 m), Samsun 19 Mayıs İlçesi Engiz Derezi (3.3 km) ve Kızılırmak (21 km) olmak üzere yedi örnekleme noktasından alınmıştır.

### 2.2. Metod

#### 2.2.1. Standart Çözeltilerin Hazırlanması

Standart Florür Çözeltisi : 5.8 g KF bir miktar destile suya çözüldü ve 1000' ye tamamlanarak stok çözelti hazırlandı, ( $0.1 \text{ mol F}^-/\text{L}$ ). $10^{-2}$ ,  $10^{-3}$ ,  $10^{-4}$   $\text{F}^-$  çözeltileri için 0.1 M stok çözeltisinden sırasıyla 10, 1, 0.1 ml alınıp 100 ml ' ye seyreltildi.  $10^{-5}$ ,  $10^{-6}$  M  $\text{F}^-$  çözeltileri için  $10^{-3}$  M çözeltiden sırasıyla 1, 0.1 ml alınıp 100 ml ' ye seyreltildi.

Standart Nitrat Çözeltisi : 12.625 g  $\text{KNO}_3$  bir miktar destile suya çözülerek 250 ml ' ye tamamlandı ( $0.5 \text{ mol NO}_3^-/\text{L}$ ).  $10^{-1}$ ,  $10^{-2}$ ,  $10^{-3}$  M  $\text{NO}_3^-$  çözeltileri için 0.5 M  $\text{NO}_3^-$  çözeltisinden sırasıyla 20, 2, 0.2 ml alınıp 100 ml ' ye seyreltildi.  $10^{-4}$ ,  $10^{-5}$  M  $\text{NO}_3^-$  çözeltileri için  $10^{-3}$  M  $\text{NO}_3^-$  çözeltisinden sırasıyla 1, 0.1 ml alınıp 100 ml ' ye seyreltildi.

Standart Nitrit Çözeltisi : 8.625 g  $\text{NaNO}_2$  bir miktar destile suya çözülerek 250 ml ' ye tamamlandı ( $0.5 \text{ mol NO}_2^- / \text{L}$ ).  $10^{-1}$ ,

$10^{-2}$ ,  $10^{-3}$  M  $\text{NO}_2^-$  çözeltileri için 0.5 M  $\text{NO}_2^-$  çözeltisinden sırasıyla 20,2, 0.2 ml alınıp 100 ml'ye seyreltildi.

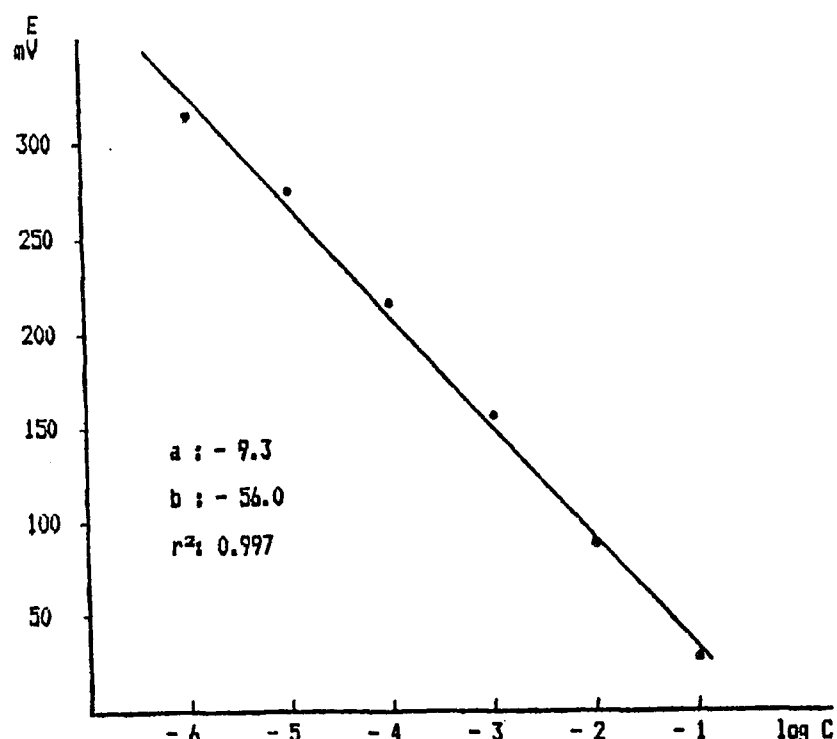
### 2.2.2. Kalibrasyon Egrilerinin Çizimi

#### 2.2.2.1. Flörür Elektrodu İçin Kalibrasyon Egrisinin Çizimi

Kalibrasyon egrilerinin çizimi günlük yapıldı. Flörür elektrodu ve referans elektrodu önce 0.5 M Flörür çözeltisine daldırıldı. mV değeri stabil hale geldikten sonra mV REL moduna getirildi.  $10^{-1}$ ,  $10^{-2}$ ,  $10^{-3}$ ,  $10^{-4}$ ,  $10^{-5}$ ,  $10^{-6}$  M Flörür çözeltilerine daldırılarak mV değerleri okundu. Değerler Tablo 2.1'de gösterilmiştir. Önceki bölümde verilen ( $\delta$ ) eşitliğine göre kalibrasyon eğrisi  $\log C$ 'ye karşı  $E$ (mV) olarak çizildi.

Tablo 2.1. Flörür Elektodu Kalibrasyonunda Bulunan Değerler

C (M)	$10^{-1}$	$10^{-2}$	$10^{-3}$	$10^{-4}$	$10^{-5}$	$10^{-6}$
mV	41	100	165	220	280	314



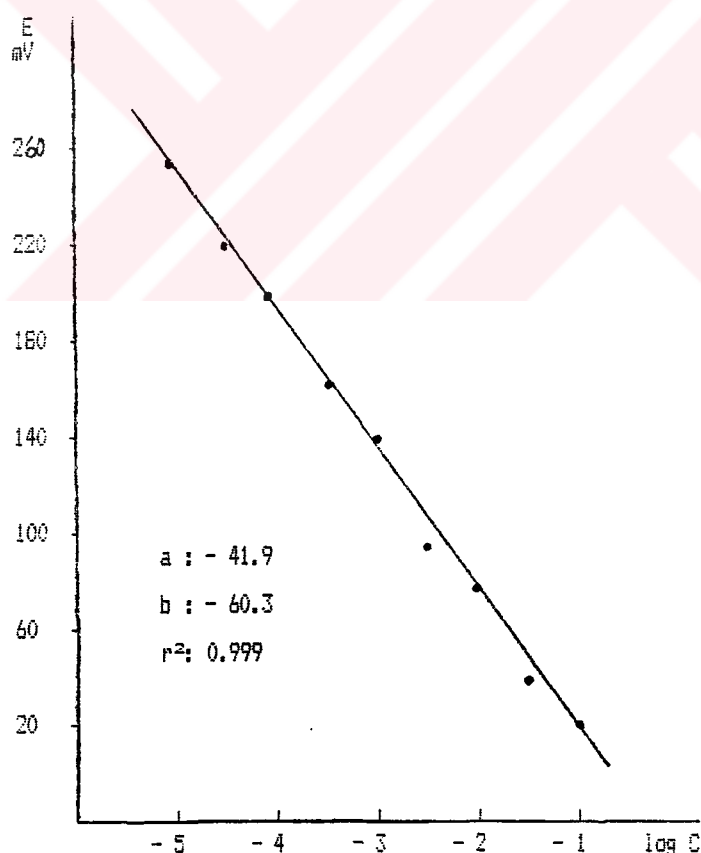
Sekil 2.1. Flörür elektodu için kalibrasyon eğrisi

### 2.2.2.2. Nitrat Elektroodu için Kalibrasyon Eğrisi

Kalibrasyon eğrisi çizimi günlük yapıldı. Nitrat elektroodu ve referans elektroodu 0.25 M  $\text{NO}_3^-$  çözeltisine daldırıldı. mV değeri stabil hale geldikten sonra mV REL moduna getirildi.  $10^{-1}$ ,  $10^{-2}$ ,  $10^{-3}$ ,  $10^{-4}$  ve  $10^{-5}$  M  $\text{NO}_3^-$  çözeltilerine daldırılarak mV değerleri okundu. Değerler Tablo 2.2'de gösterilmiştir. Kalibrasyon eğrisi eşitlik (8)'ya göre  $\log C$ 'ye karşı  $E(\text{mV})$  olarak çizildi.

Tablo 2.2. Nitrat Elektroodu Kalibrasyonunda Bulunan Değerler

$C (\text{M})$	$10^{-1}$	$5 \cdot 10^{-2}$	$10^{-2}$	$5 \cdot 10^{-3}$	$10^{-3}$	$5 \cdot 10^{-4}$	$10^{-4}$	$5 \cdot 10^{-5}$	$10^{-5}$
mV	20	36	76	94	138	162	201	220	255



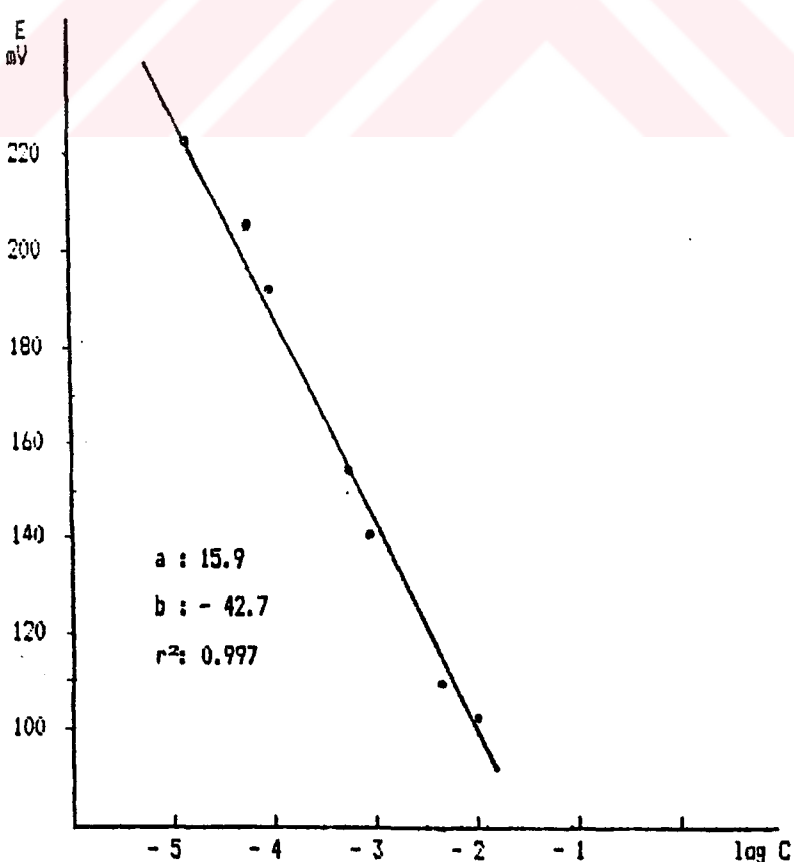
Şekil 2.2. Nitrat elektroodu için kalibrasyon eğrisi

### 2.2.2.3. Nitrit Elektrodu İçin Kalibrasyon Eğrisi

Kalibrasyon eğrisi çizimi günlük yapıldı. Nitrit elektrodu ve referans elektrodu  $10^{-4}$  M  $\text{NO}_2^-$  çözeltisine daldırıldı. mV değeri stabil hale geldikten sonra mV REL moduna getirildi.  $10^{-2}$ ,  $5 \cdot 10^{-3}$ ,  $10^{-3}$ ,  $5 \cdot 10^{-4}$ ,  $10^{-4}$ ,  $5 \cdot 10^{-5}$ ,  $10^{-5}$  M  $\text{NO}_2^-$  çözeltisine daldırılarak mV değerleri okundu. Değerler Tablo 2.3'de verilmiştir. Kalibrasyon eğrisi (7) eşitliğine göre  $\log C$ ye karşı çizilmiştir.

Tablo 2.3. Nitrit Elektrodu Kalibrasyonunda Bulunan Değerler

$C (\text{M})$	$10^{-2}$	$5 \cdot 10^{-3}$	$10^{-3}$	$5 \cdot 10^{-4}$	$10^{-4}$	$5 \cdot 10^{-5}$	$10^{-5}$
mV	106	111	140	156	168	205	227



Şekil 2.3. Nitrit elektrodu için kalibrasyon eğrisi

### 2.2.3. Elektrotlar ile On Deneyler

Kullanılan ticari elektrotlarla girişim yapan iyonlar EK-1 de gösterilmiştir. Çalışılan nitrit ve nitrat klorür derişimlerinde Nitrit ve Nitrat elektrotlarına klorür, nitrit ve nitrat derişimlerinin etkisini belirlemek amacıyla bir dizi deneyler yapıldı.

#### 2.2.3.1. Nitrit Elektrodu

Nitrit elektroduna, klorür ve nitrat iyonlarının girişimini görmek için 20 ppm nitrit çözeltisi Üzerine sırası ile 50, 100 150, 200, 250 ppm klorür çözeltisi ilave edildi. Ölçülen değerler Tablo 2.4' de verilmiştir.

Aynı şekilde 20 ppm nitrit çözeltisi Üzerine sırasıyla 5, 10, 15, 20, 25 ppm nitrat çözeltisi ilave edildi. Ölçülen değerler Tablo 2.5' de verilmiştir.

#### 2.2.3.2. Nitrat Elektodu

Nitrat elektroduna nitrit iyonunun çalışılan koşullarda girişimi belirlemek için 10 ppm ve 2 ppm nitrat çözeltileri Üzerine sırasıyla 5,10, 15, 20, 25 ppm nitrit çözeltileri ilave edildi. Ölçülen değerler Tablo 2.6 ve Tablo 2.7' de verilmiştir.

Tablo 2.4. Değişik Dərişimlərde Klorür Cözeltilərinin Nitrit Elektroduna Etkiləri

Cözeltili	E (mV)
20 ppm $\text{NO}_2^-$ + 0 ppm $\text{Cl}^-$	155
20 ppm $\text{NO}_2^-$ + 50 ppm $\text{Cl}^-$	158
20 ppm $\text{NO}_2^-$ + 100 ppm $\text{Cl}^-$	155
20 ppm $\text{NO}_2^-$ + 150 ppm $\text{Cl}^-$	157
20 ppm $\text{NO}_2^-$ + 200 ppm $\text{Cl}^-$	158
20 ppm $\text{NO}_2^-$ + 250 ppm $\text{Cl}^-$	156

Tablo 2.5. Değişik Dərişimlərde Nitrat Cözeltilərinin Nitrit Elektroduna Etkiləri

Cözeltili	E (mV)
20 ppm $\text{NO}_2^-$ + 0 ppm $\text{NO}_3^-$	157
20 ppm $\text{NO}_2^-$ + 5 ppm $\text{NO}_3^-$	157
20 ppm $\text{NO}_2^-$ + 10 ppm $\text{NO}_3^-$	159
20 ppm $\text{NO}_2^-$ + 15 ppm $\text{NO}_3^-$	158
20 ppm $\text{NO}_2^-$ + 20 ppm $\text{NO}_3^-$	158
20 ppm $\text{NO}_2^-$ + 25 ppm $\text{NO}_3^-$	159

**Tablo 2.6.** Değişik Dərişimlerde Nitrit Çözeltilerinin Nitrat Elektroduna Etkileri

Çözelti	E (mV)
10 ppm $\text{NO}_3^-$ + 0 ppm $\text{NO}_2^-$	105
10 ppm $\text{NO}_3^-$ + 5 ppm $\text{NO}_2^-$	148
10 ppm $\text{NO}_3^-$ + 10 ppm $\text{NO}_2^-$	152
10 ppm $\text{NO}_3^-$ + 15 ppm $\text{NO}_2^-$	156
10 ppm $\text{NO}_3^-$ + 20 ppm $\text{NO}_2^-$	152
10 ppm $\text{NO}_3^-$ + 25 ppm $\text{NO}_2^-$	151

**Tablo 2.7.** Değişik Dərişimlerde Nitrit Çözeltilerinin Nitrat Elektroduna Etkileri

Çözelti	E (mV)
2 ppm $\text{NO}_3^-$ + 0 ppm $\text{NO}_2^-$	194
2 ppm $\text{NO}_3^-$ + 5 ppm $\text{NO}_2^-$	195
2 ppm $\text{NO}_3^-$ + 10 ppm $\text{NO}_2^-$	190
2 ppm $\text{NO}_3^-$ + 15 ppm $\text{NO}_2^-$	195
2 ppm $\text{NO}_3^-$ + 20 ppm $\text{NO}_2^-$	194
2 ppm $\text{NO}_3^-$ + 25 ppm $\text{NO}_2^-$	190

#### 2.2.4. Sularda Flörür , Nitrit , Nitrat Tayinleri

Onbeş günlük peryodik aralıklarla daha önce belirtilen yedi noktadan su örnekleri alınmıştır. Analizler yapılmıncaya kadar numuneler karanlıkta bekletildi ve mavi bant süzgeç kağıdından süzüldü.

##### 2.2.4.1. Flörür Tayini

Onbeş günlük peryodik aralıklarla alınan numunelerde ölçülen flörür miktarları Tablo 2.8' de verilmiştir.

##### 2.2.4.2. Nitrat Tayini

Onbeş günlük peryodik aralıklarla alınan numunelerde ölçülen nitrat miktarı Tablo 2.9 ' da verilmiştir.

##### 2.2.4.3. Nitrit Tayini

Onbeş günlük peryodik aralıklarla alınan numunelerde ölçülen nitrit miktarı Tablo 2.10 ' da verilmiştir.

Tablo 2.8. Çeşitli Su Numunelerinde Flotür Miktarları (ppm)

	Suat U.	Yeşilirmak	Abdal D.	Mert Ir.	Kürtün Ir.	Engiz D.	Kızılırmak	Çeşme S.
Mart	—	—	—	—	—	—	0.674	1.068
Mart	—	—	—	—	2.684	—	—	1.068
Nisan	0.756	1.345	0.756	0.756	1.068	—	1.345	0.849
Nisan	0.952	0.849	0.601	—	0.674	0.477	0.674	0.601
Mayıs	1.509	1.345	1.199	1.068	1.345	1.345	2.131	0.849
Mayıs	1.068	2.684	0.756	1.068	0.756	0.693	1.068	0.849
Haziran	0.952	0.601	0.535	0.756	0.535	0.601	0.601	0.849
Haziran	1.509	0.268	1.068	1.068	1.693	0.268	1.693	0.601
Temmuz	0.849	0.849	1.345	0.801	0.952	0.674	0.952	0.379
Temmuz	1.068	1.199	0.535	1.068	0.535	0.535	0.849	0.338
Agustos	1.199	1.345	0.756	1.345	1.199	1.068	1.900	0.601
Agustos	1.345	0.601	0.674	1.900	0.849	1.199	1.068	0.601

Tablo 2.9. Çeşitli Su Numunelerinde Nitrat Miktarları (ppm)

	Suat U.	Yeşilirmak	Abdal D.	Mert Ir.	Kürtün Ir.	Engiz D.	Kızılırmak	Çeşme S.
Mart	—	—	—	—	—	—	—	27.69
Mart	—	—	—	—	15.57	—	—	34.86
Nisan	6.20	6.20	2.76	4.92	—	—	—	11.03
Nisan	9.80	9.80	6.94	—	8.74	2.47	12.37	19.60
Mayıs	1.56	1.75	0.78	—	1.24	0.14	1.96	3.11
Mayıs	2.77	1.75	1.96	3.49	2.77	0.62	2.77	4.39
Haziran	4.92	2.77	2.15	4.92	6.96	0.78	4.36	6.96
Haziran	5.53	4.39	2.20	5.53	6.20	0.78	6.20	6.20
Temmuz	6.96	7.81	6.96	6.96	9.83	1.56	6.96	7.81
Temmuz	8.76	6.96	5.26	5.26	6.96	2.47	9.83	6.96
Agustos	11.03	6.96	5.53	5.53	6.96	2.77	6.96	4.39
Agustos	12.40	7.80	6.96	6.96	7.80	3.11	6.96	4.92

Tablo 2.10. Çeşitli Su Numunelerinde Nitrit Miktarları (ppm)

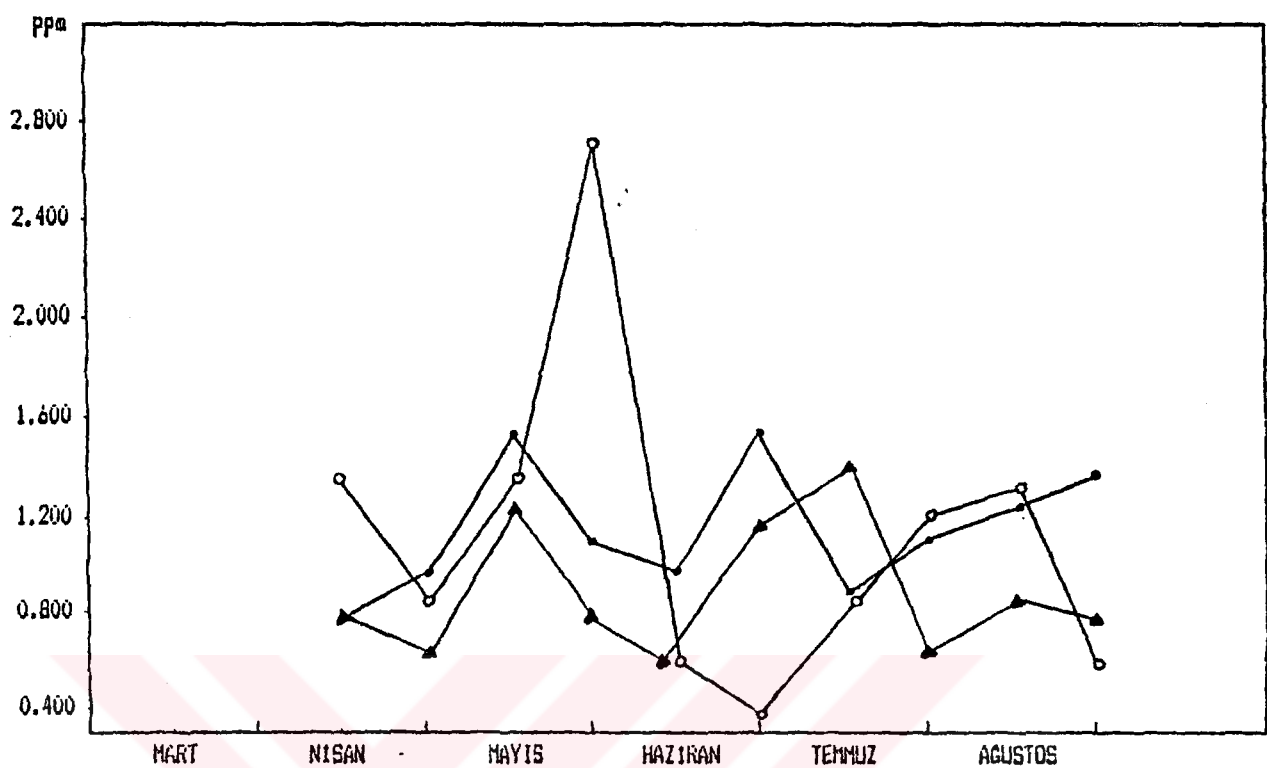
	Suat U.	Yeşilirmak	Abdal D.	Mert Ir.	Kurtun Ir.	Engiz D.	Kızılırmak	Çeşme S.
Mart	—	—	—	—	5.89	—	3.2	1.03
Mart	—	—	—	—	9.2	—	—	1.61
Nisan	11.5	12.9	11.5	11.5	—	—	—	3.91
Nisan	14.5	16.3	19.3	—	18.3	18.4	14.5	1.29
Mayıs	25.8	20.5	20.5	18.3	29.0	51.6	18.3	1.83
Mayıs	36.5	36.5	36.5	29.0	29.0	57.9	23.0	1.60
Haziran	46.0	41.4	41.4	39.1	41.4	46.0	34.5	2.30
Haziran	69.0	46.0	43.7	39.1	46.0	69.0	39.1	2.30
Temmuz	101.3	81.8	72.9	102.3	91.8	72.9	36.5	9.10
Temmuz	183.0	129.6	91.7	183.0	81.8	102.9	81.8	7.30
Agustos	258.0	258.0	205.0	163.2	145.5	136.2	91.7	7.30
Agustos	81.8	91.8	57.9	51.6	81.8	365.3	46.0	11.5

Table 2.11. Samsun Yöresi Akarsuları ve Şehir İgme Suyunda Altı Aylık Ortalama Sonuçları  
Gözlenen Floryin, Nitrat ve Nitrit İyonları Miktarları

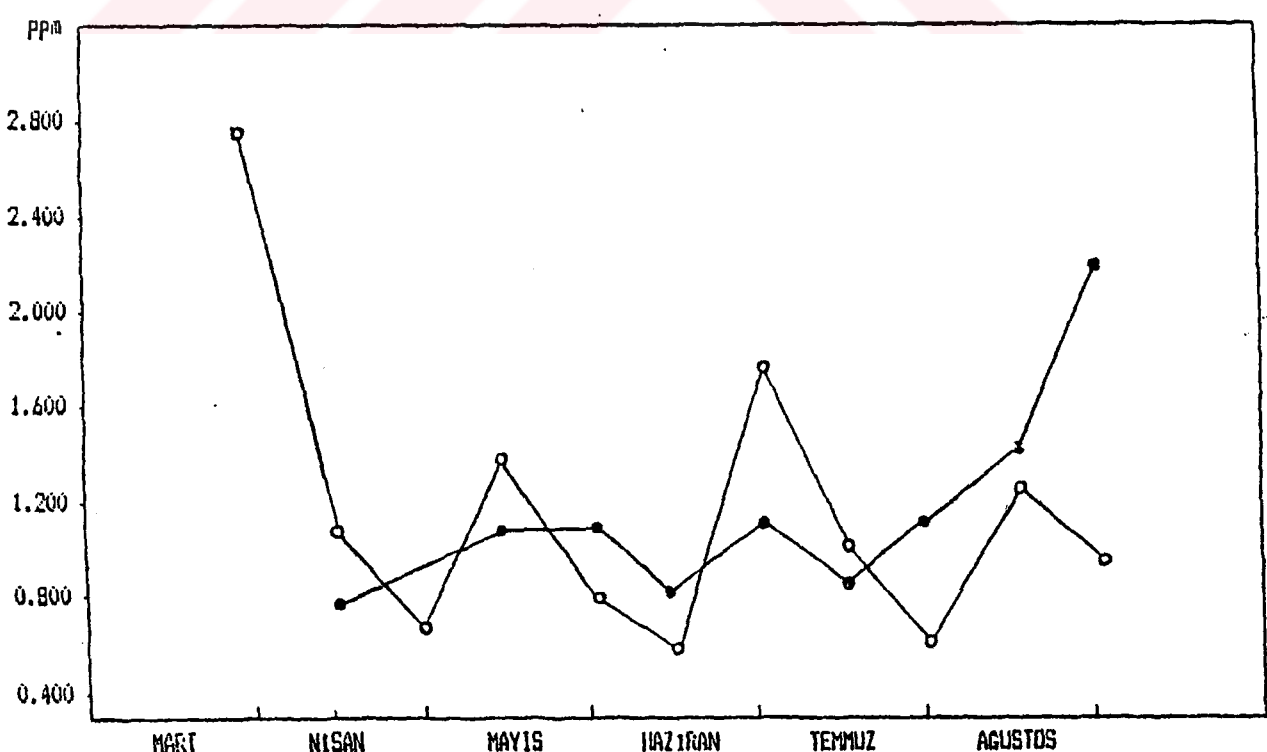
	Suad U.	Yığılırmak	Abdal D.	Mart Ir.	Kurtün Ir.	Engiz D.	Kızılırmak	Ceyre S.
Floryin Miktarı (PPm)	Maks.	1.509	2.684	1.345	1.900	2.684	1.345	2.131
	Min.	0.756	0.268	0.535	0.756	0.535	0.268	0.601
	Ort.	1.121	1.109	0.823	1.072	1.117	0.762	1.178
Nitrat Miktarı (PPm)	Maks.	12.40	9.80	6.96	6.96	15.70	3.11	12.37
	Min.	1.56	1.75	0.78	3.49	1.24	0.14	1.96
	Ort.	6.96	5.62	3.85	5.45	7.30	1.63	5.49
Nitrit Miktarı (PPm)	Maks.	258.0	258.0	205.0	183.0	145.5	365.3	91.7
	Min.	11.5	12.9	11.5	11.5	5.9	18.4	3.2
	Ort.	82.7	73.5	60.4	70.8	52.7	102.2	38.8

Tablo 2.12. TS- 266'ya Göre İçilebilir Sularda Floryür Limitleri

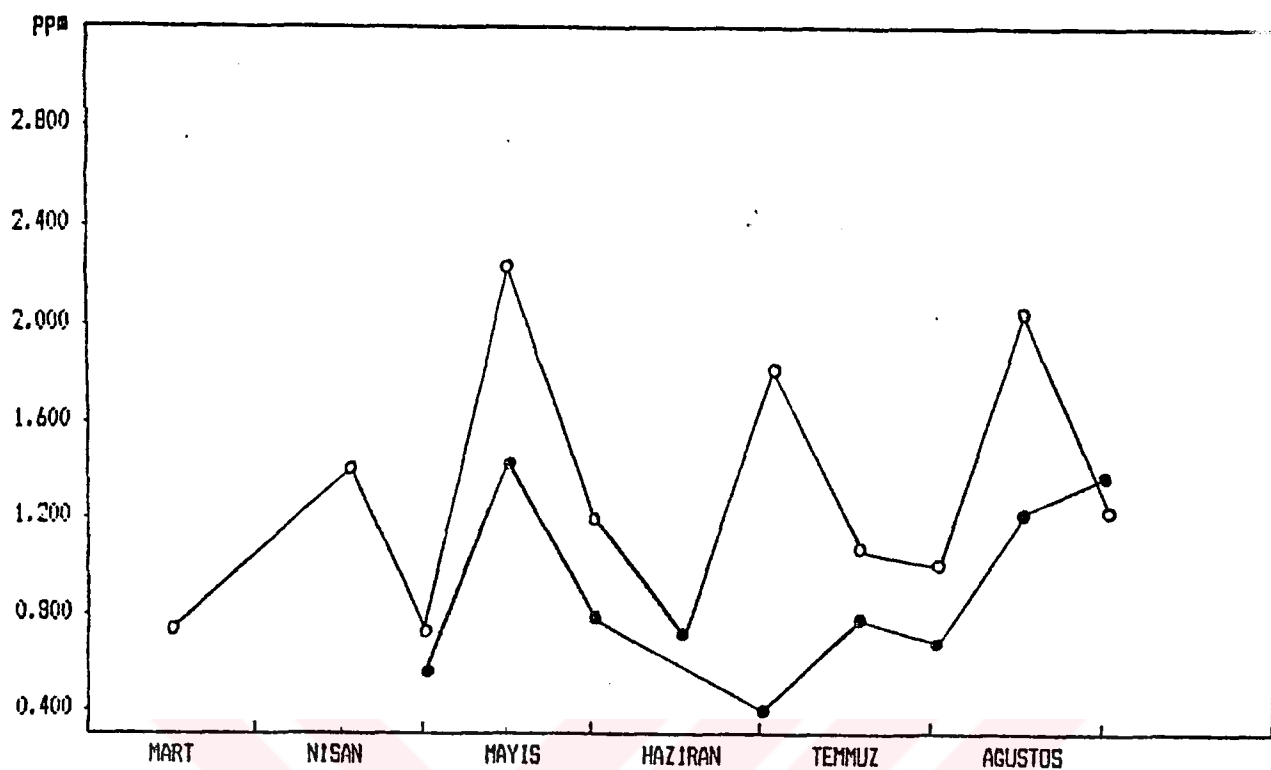
Günlük Hava Sıcaklıklarının Yıllık Ortalaması °C	Floryür Derişimi (ppm)		Müsaade Edilebilen Maks. Miktar
	En Az	Uygun	
10.0 - 12.1	0.9	0.9 - 1.7	2.4
12.2 - 14.6	0.8	0.8 - 1.5	2.2
14.7 - 17.7	0.8	0.8 - 1.3	2.0
17.8 - 21.4	0.7	0.7 - 1.2	1.8
21.5 - 26.2	0.7	0.7 - 1.0	1.6
26.3 - 32.5	0.6	0.6 - 0.8	1.4



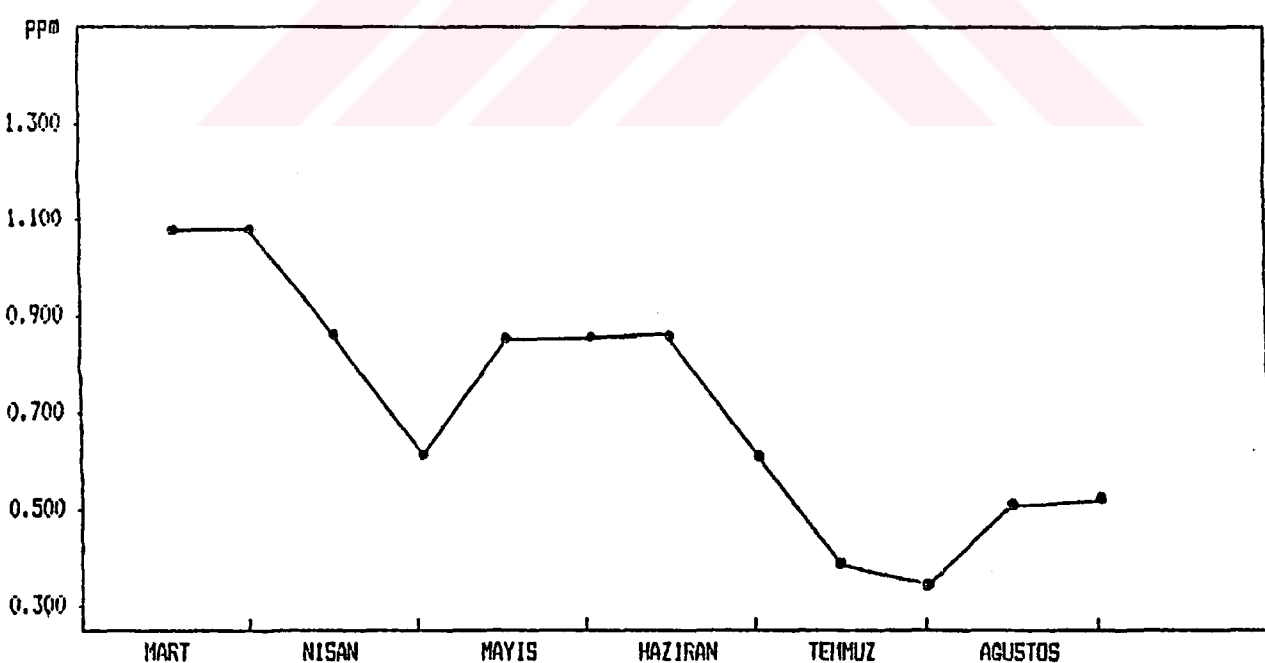
Şekil 2.4. Suat Ugurlu Baraj Gölü, Yeşilirmak ve Abdal Dere'sinde tespit edilen florür miktarları (ppm).  
 ●: Suat Ugurlu Baraj G. , ○ : Yeşilirmak , ▲: Abdal D.



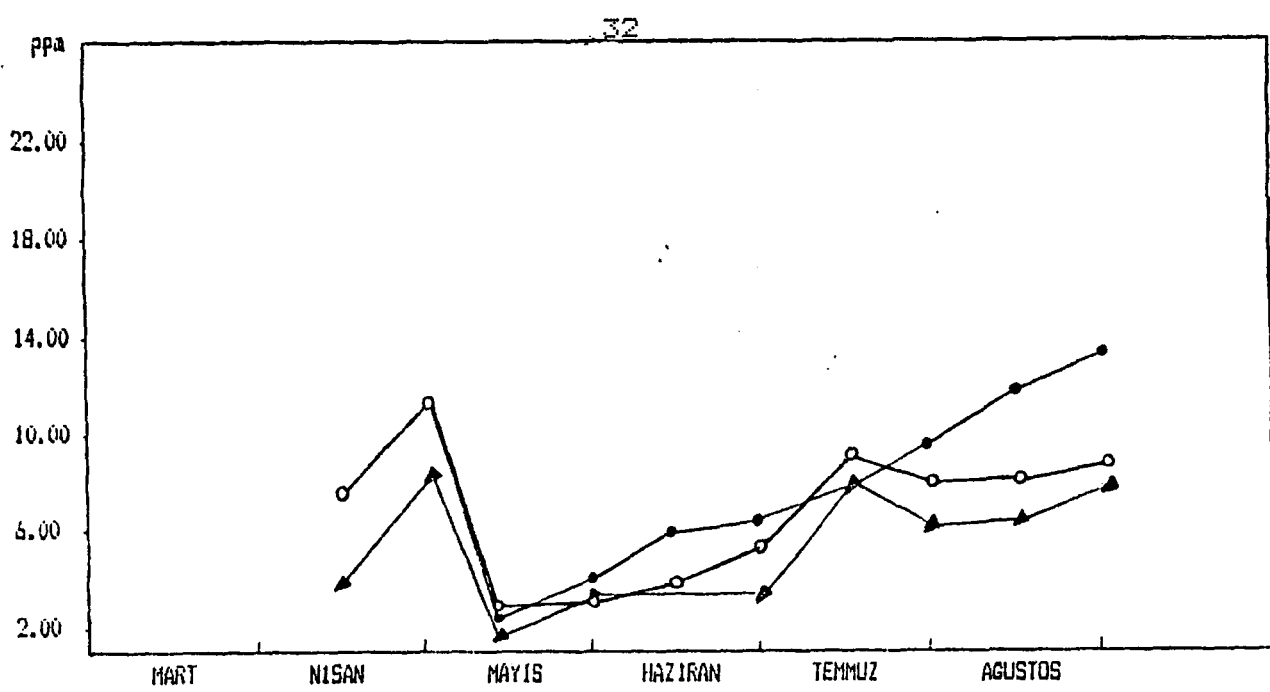
Şekil 2.5. Mert ve Kürtün Irmağı'nda tespit edilen florür miktarları (ppm) . ●: Mert Ir. , ○ : Kürtün Ir.



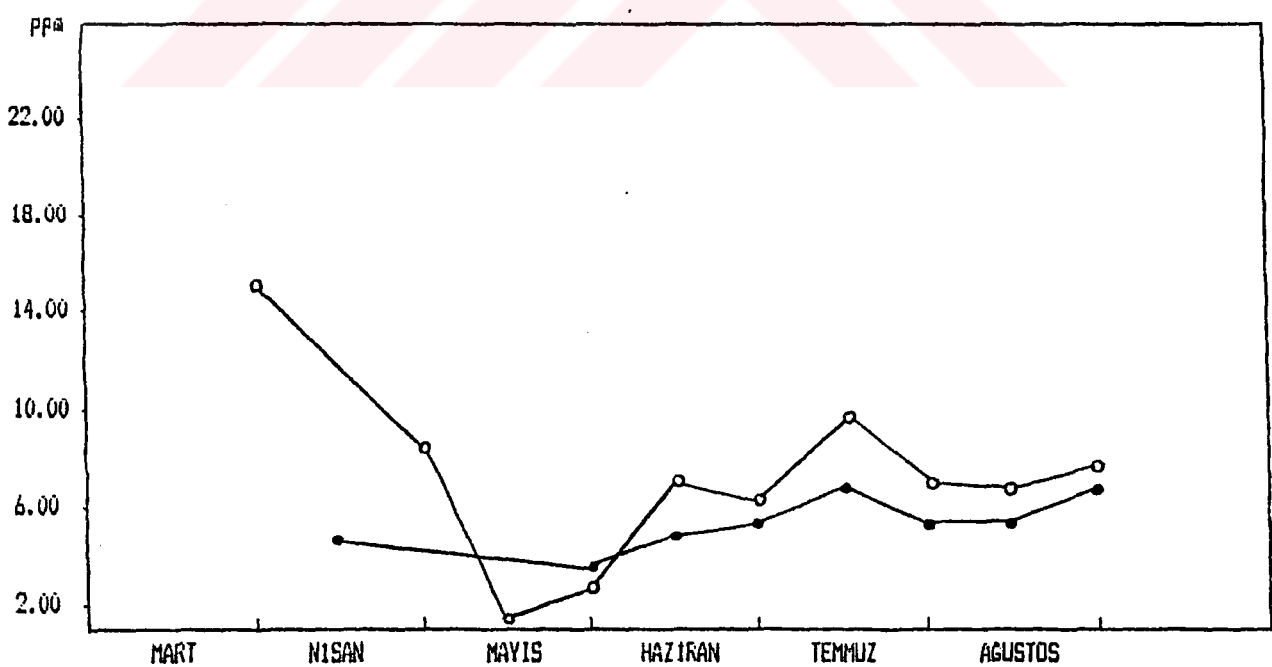
Şekil 2.6. Engiz Dere'si ve Kızılırmak'ta tespit edilen florür miktarları (ppm). ■:Engiz D. , ○:Kızılırmak



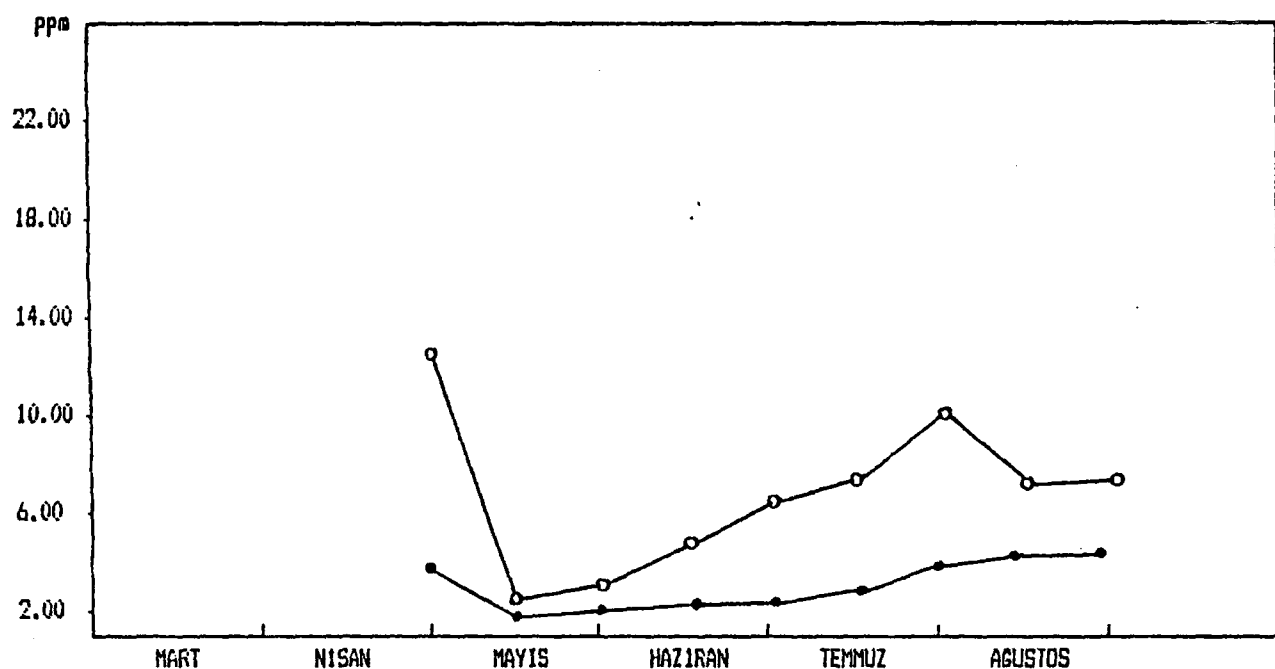
Şekil 2.7. Şehir içme suyunda tespit edilen florür miktarları (ppm)



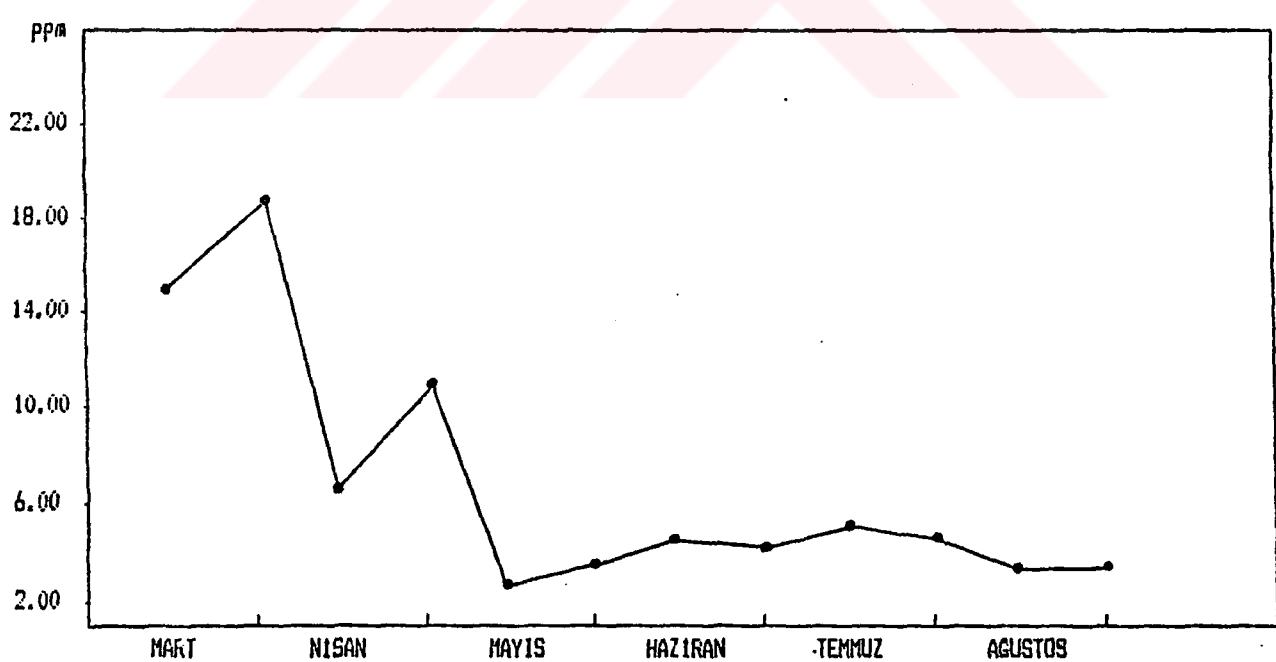
Sekil 2.8. Suat Ugurlu Baraj Gölü, Yeşilirmak ve Abdal Dereci'nde tespit edilen nitrat miktarları (ppm).  
 ●: Suat Ugurlu Baraj G. , ○ : Yeşilirmak , ▲ : Abdal D.



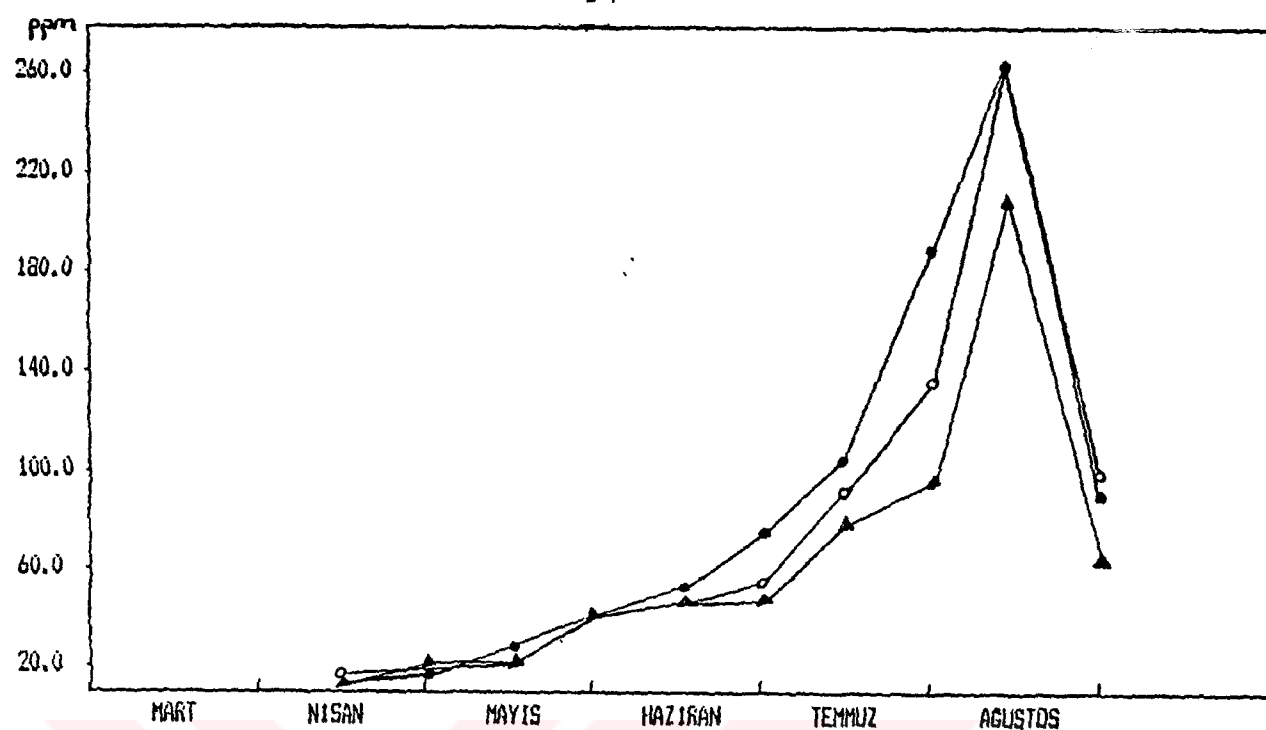
Sekil 2.9. Mert ve Kürtün Irmağı'nda tespit edilen nitrat miktarları (ppm). ●: Mert Ir. , ○ : Kürtün Ir.



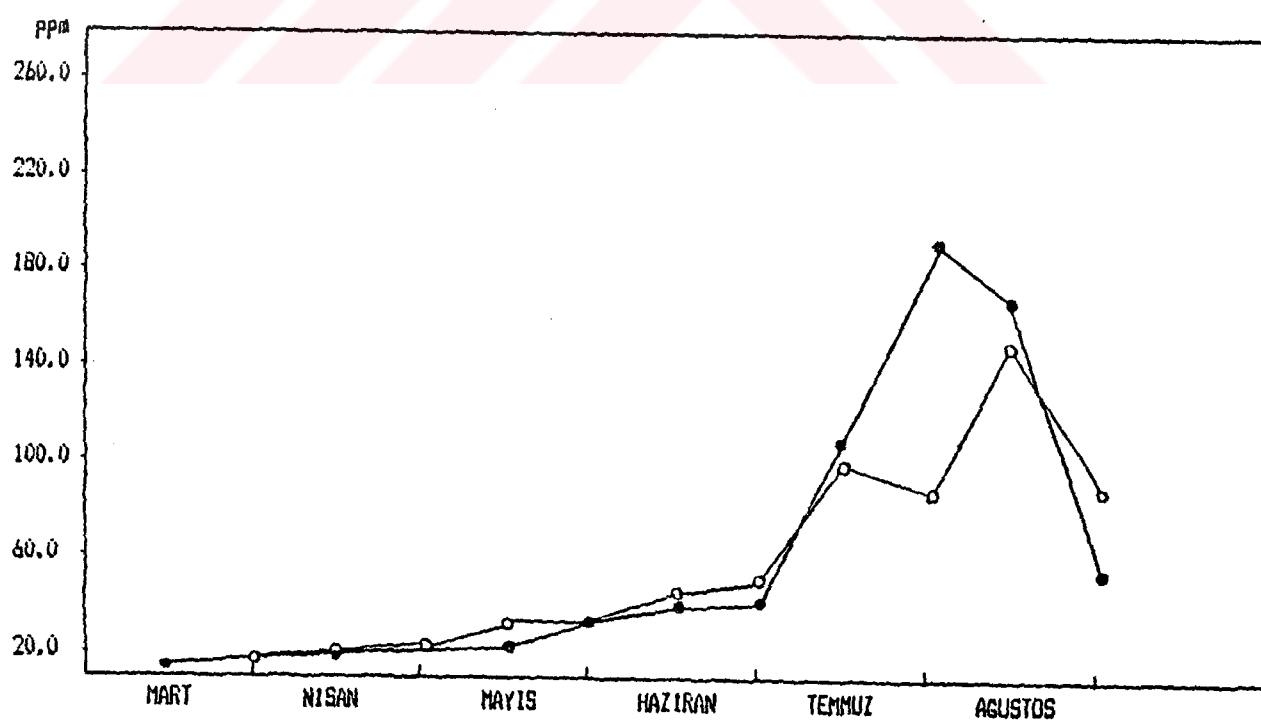
Sekil 2.10. Engiz Dere'si ve Kizilirmak'ta tespit edilen nitrat miktarları (ppm). ●: Engiz D., ○: Kizilirmak



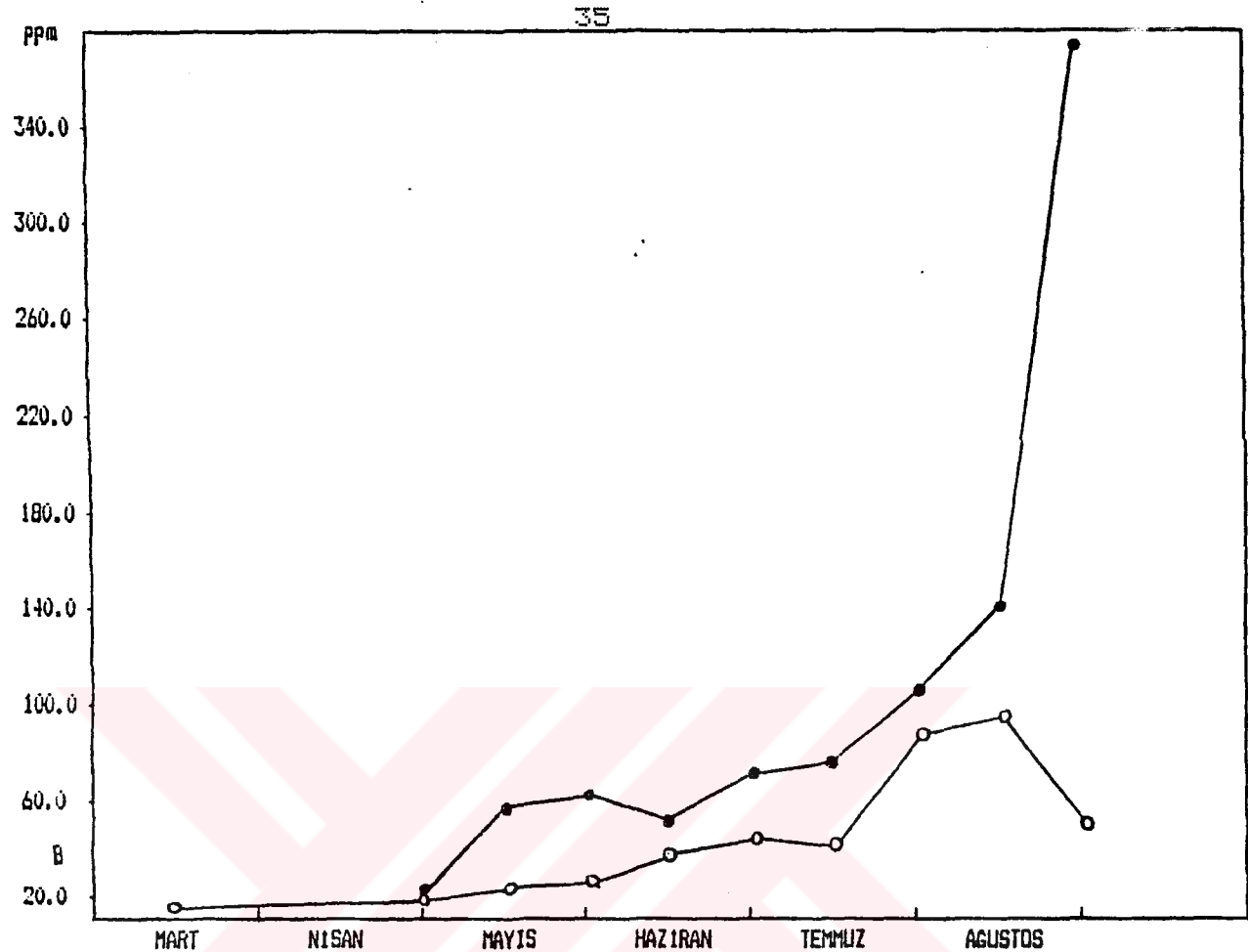
Sekil 2.11. Şehir içme suyunda tespit edilen nitrat miktarları (ppm)



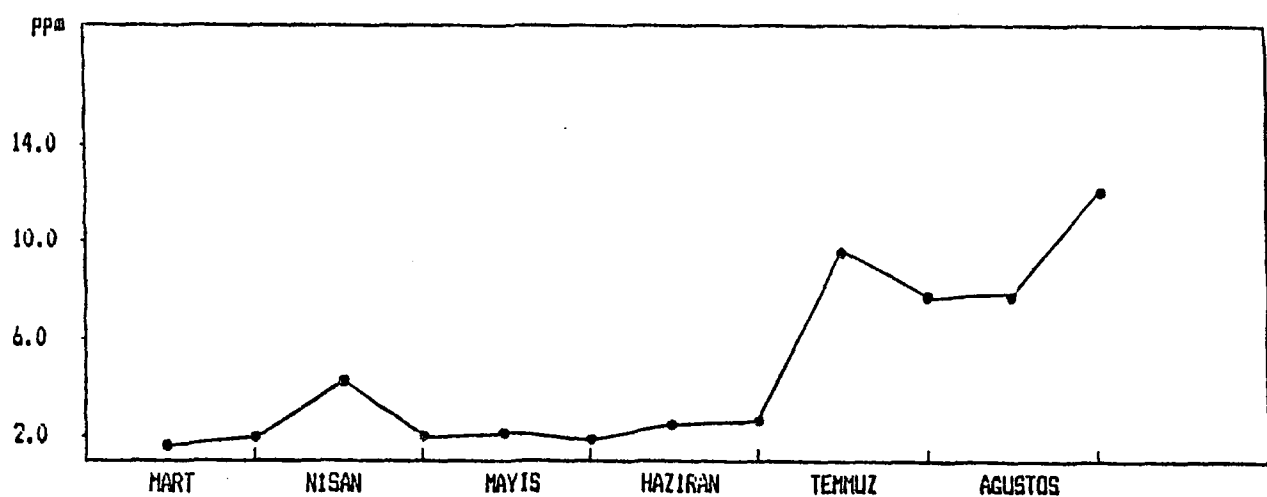
Şekil 2.12. Suat Ugurlu Baraj Gölü, Yeşilirmak ve Abdal Dere'sinde tespit edilen nitrit miktarları (ppm)  
● : Suat Ugurlu Baraj G. , ○ : Yeşilirmak , ▲ : Abdal D.



Şekil 2.13. Mert ve Kurtün Irmağı'nda tespit edilen nitrit miktarları (ppm) ● : Mert Ir. , ○ : Kurtün Ir.



Şekil 2.14. Engiz Dere'si ve Kızılırmak'ta tespit edilen nitrit miktarları (ppm). ●:Engiz D., ○:Kızılırmak



Şekil 2.15. Şehir içme suyunda tespit edilen nitrit miktarları (ppm)

### 3. SONUÇLAR VE TARTIŞMALAR

#### 3.1. Nitrit, Nitrat, Klorür Girişim Deneyleri

Ek-2'de verilen iyon seçici elektrotlar kullanımı sırasında girişim yapabilecek iyonların deneylerimiz sırasında herhangibir sorun yaratıp yaratmayacağına dair gerçekleştirilen deney sonuçları Bölüm 2'de verilmiştir. Farklı nitrit derişimlerinde nitratın ve farklı nitrat derişimlerde nitritin ölçümlerinde önemli bir girişim sorunu gözlenmemiştir.

Klorür derişimlerinde de çalışılan koşullarda herhangibir girişiminin söz konusu olmadığı gözlenmiştir.

#### 3.2. Flورür Ölçüm Sonuçları

Türk Standartları Enstitüsü normlarının verildiği TS 266'ya göre (1998), kaynak ve yüzey sularında müsaade edilen flورür miktarları 1 ppm, içme sularında ise sıcaklığı bağlı olarak (Tablo 2.12.) 0.8 ppm ile 1.7 ppm arasında olmalıdır. Diğer taraftan Dünya Sağlık Teşkilatı (WHO) normlarında 1.5 ppm sınır değer olarak verilirken Avrupa Topluluğu normlarında bu değer 0.7 -i ppm olarak kabul edilmiştir.

Samsun havzasında aldığımız 7 örnekleme noktası ve içme suyunda yapılan ölçümlerde genellikle yukarıda verilen sınırlar içinde kalan değerler bulunmaktadır. Altı aylık süre içinde önceki bölümde de濂ilen örnekleme noktalarından alınan numunelerde maksimum ve minimum değerler olarak 0.338 ve 2.684 ppm flورür bulunmuştur. Azot Sanayii atığı olarak hidrojen flورür gazının sürekli olarak çevreyi kirlettigi iddiaları açısından verile-re bakıldığındá yine olağan dışı bir durum gözlenmemiştir.

Fabrika doğusunda Abdal Derezi, Yeşilirmak ve Suat Ugurlu Barajı sularında bulunan flورür oranları ile fabrikanın batısına düşen Mert, Kürtün, Engiz Dereleri ve Kızılırmak'ta ölçülen değerlerde önemli bir farklılık göze çarpmamaktadır. Suat Ugurlu Barajı'nda kararlı bir flورür derişimi gözlenirken (Şekil 2.4),

Yeşilirmak (Şekil 2.4) ve Kızılırmak'ta (Şekil 2.6) Mayıs ayında en yüksek ölçümler olarak , 2.682 ve 2.131 ppm bulunmuştur. Samsun içme suyunun bir kısmının karşılandığı Abdal Dere'sinde altı ay boyunca kararlı bir durum gözlenmiş (maks = 1.345 ppm ; min = 0.535 ppm ; ort = 0.823 ppm), yaz ayları sonunda azalma kaydedilmiştir.

Çoğunlukla Kürtün Dere'sinde açılan kuyulardan sağlanan Eğitim Fakültesi içme suyunda ise kararlı bir derişim izlenirken altı ay ortalaması 1.117 ppm iken maksimum ve minimum değerler sırası ile 2.684 ve 0.535 ppm olarak ölçülmüştür.

### 3.3. Nitrat Ölçüm Sonuçları

Türk Standartlarında nitrat için kaynak sularında 25 ppm, içme sularında 45 ppm' lik değerler kabul edilebilir üst sınırlar olarak öngörülmüştür. Dünya Sağlık Örgütünün sınır değeri 10 mg/ L (N) olarak bildirilmiştir. Avrupa Ekonomik Topluluğu, içme sularında esas olan yüzey suları için bu değeri 25 mg/L ( $\text{NO}_3^-$ ) olarak kabul etmiştir.

Sekiz örnek üzerinde altı ay boyunca yapılan ölçümlerde hiçbir zaman bu sınır değerlerinin üzerine çıkılmadığı gözlenmiştir. Akarsu örneklerinde en düşük ve en yüksek değer olarak sırası ile 0.14 ppm (Engiz Dere'si, Mayıs, Şekil 2.10) ve 15.57 ppm (Kürtün Irmağı, Mart, Şekil 2.9) ölçülmüştür. Mayıs-Haziran aylarında genelde bir azalma gözlenirken, Nisan, Agustos ve Eylül aylarında yükselme vardır.

Bulgular arasında belki de en ilgi çekici olanı kiş aylarında Eğitim Fakültesi şebekesi suyu verileridir (Şekil 2.11) .

TS 266'da kabul edilen sınır 45 ppm değerine çok yakın değerler Mart (27.69 ve 34.86), Nisan (11.03 ve 19.60) ölçümlerinde bulunmuştur. Daha önce de belirtildiği gibi Eğitim Fakültesi içme suyunun kaynağını Kürtün deresinde açılan kuyular oluşturmaktadır (Şekil 2.9). Tablo 2.9'da gösterilen Nisan ve Mayıs aylarına ait ölçümler aynı döneme ait içme suyu verileri ile karşılaştırıldığında ;

(Kürtün Irmağı, Mart)	15.57	—	34.86	(İçme Suyu, Mart)
(Kürtün Irmağı, Nisan)	8.74	—	19.60	(İçme Suyu, Nisan)

iki örnek arasındaki (iki katı) ilişkiyi görmek mümkündür. Bu nedenle içme suyu hazırlamada filtrasyon işleminin uygulanması kaçınılmazdır.

Kış aylarında nitrat derişiminin yüksekliğinin yağmur suları ile sürüklenen sinai gübre atıklarından kaynaklandığı söylenebilir. Daha sonra azalmayı takip eden yaz aylarında yükselme ise nitritin nitrata dönüştüğü nitrifikasiyondan ve debinin düşmesinden kaynaklanmaktadır.

#### 3.4. Nitrit Ölçüm Sonuçları

Avrupa Ekonomik Topluluğu normlarında içme suyu için müsaade edilebilen en yüksek nitrit değeri 0.1 mg/L olarak belirlenmiştir. Dünya Sağlık Teşkilatı ise nitritin kesinlikle içme sularında bulunmaması yönünde tavsiye kararı vardır. Aynı durum TS 266 Türk İçme Suyu Standartları için de söz konusudur ve herhangibir sınır belirlenmemiştir. Ancak yaptığımız ölçümelerde buduğumuz sonuçlar önemli boyutlardadır. Tablo 2.10, 2.11 ve Şekil 2.15'de görüldüğü gibi yer üstü sularımız yanısına içme suyunda da yüksek düzeyde nitrit bulunmaktadır. Örneklenen akarsularda nitrit düzeyi 3.2 ppm değerinin altına hiçbir zaman düşmezken Agustos ayında Suat Uğurlu Baraj Gölü ve Yeşilirmak'ta 258.0 ve Engiz Dere'sinde 365.3 ppm gibi çok yüksek değerler ölçülmüştür.

Yaz aylarında görülen yükselme sonbahara doğru nitrifikasiyonun da yardımıyla azalma göstermiştir. Bu aylarda nitrat oranındaki yükselme de bunu kanıtlamaktadır.

İçme suyu için bulunan değerler ise minimum 1.03 ppm ve maksimum 11.5 ppm olarak Tablo 2.11'de gösterilmiştir. Ortalama değer ise 4.25 ppm dir. "Sıfır" olması gereken nitrit oranının içme suyunda bu kadar yüksek oluşunun nedenleri arasında suyun iyi havalandırılmamış olması, klorlama ile nitrifikasiyonun yete-

ri ölçüde sağlanamamış olması ve iyi bir filtrasyonun yapılmamış olmasıdır. Diğer taraftan tespit edebildigimiz kadari ile kullanılmakta olan içme suyu Kürtün Irmağı'ndaki kuyulardan alınan suyun klorlama işleminden sonra doğrudan şebeké suyu olarak verilmesi şeklinde Eğitim Fakültesi'ne ulaşmaktadır.



#### 4. ÖNERİLER

1. Samsun Havzası akarsu ve göllerinde önemli bir florür ve nitrat kirlenmesi söz konusu degildir.
2. Aynı şeyler nitrit kirlenmesi için söylenenemez. Nitrit kirliliği önemli düzeylere ulaşmış ve acil tedbirler alınmasını gerektirecek boyutlardadır.
3. Eğitim Fakültesi içme suyunda florür yönünde herhangibir sorun beklenmez iken nitrat açısından dikkatli olunmasını gerektiren yüksek düzeylere zaman zaman ulaşılmaktadır.
4. İçme suyundaki nitrit düzeyi suyun kesinlikle kullanılmaması sonucuna vardırmaktadır. Aslında bu sonuç, Kürtün Irmağı'nda ki nitrat oranının çok yüksek olmasından dolayı kaçınılmazdır. Gerçekte filtrasyon işlemi yapılmadan şehre verilen suyun yalnızca havalandırma ve klorlama ile bu sorunun çözüleceğini beklemek biraz aşırı iyimserlik olacaktır.
5. Deney sonuçlarına bakılarak Özellikle florür açısından Gübre Fabrikasının çevrede herhangi bir kirliliğe yol açtığı söylenenemez.
6. Yapılan çalışma ilk kez Samsun Havzasında kapsamlı bir nitrit, nitrat ve florür kirlilikini belirleme açısından önemlidir. Diğer kirlilik parametrelerinin de belirlenmesi ve bir tam yılı kapsaması halinde daha bir önem kazanacağı açıklıdır.
7. Yukarıda bulunan sonuçların değerlendirmesini giriş bölümünde de濂ilen kirlilik ve bozunmalar açısından daha sağlıklı yapabilmek için çözünmüş oksijen, amonyak, toplam organik karbon gibi parametrelerin de ölçülmesi yararlı olacaktır.

## KAYNAKLAR

1. İ. Pirinçci, H. Keleştimur, " Koyunlarda Nitrat ve Nitrit Zehirlenmesi Üzerine Deneysel Çalışmalar ", Doga TU Vet. ve Hay. D., 11, (3), 255-265, 1987
2. TS-266, " Türk İçme Suyu Standartları ", TSE, Ankara, 1984
3. P. MacCarthy, R.W. Klusman, S.W. Cowling, J.A. Rice, " Water Analysis ", Anal.Chem., 63, (12), 301-342, 1991
4. L. Manzoori and A. Miyazaki, " Indirect Inductively Coupled Plasma Atomic Emission Determination of Fluoride in Water Samples by Flow Injection Solvent Extraction ", Anal.Chem., 62, 2457-2460, 1990
5. P.K. Tarafder, D.P.S. Rathore, " Spectrophotometric Determination of Nitrite in Water ", Analyst, 113, 1073 - 1076, 1988
6. M. Nakamura, T. Mazuka, M. Yamashika, " Spectrophotometric Determination of Nitrite in Waters with 5,7 - Dihydroxy - 4 - Imino - 2 - Oxochroman ", Anal.Chem., 56, 2422-2244, 1984
7. P. MacCarthy, R.W. Klusman , J.A. Rice, " Water Analysis ", Anal.Chem., 59, (12), 308-337, 1987
8. R.S. Braman and S.A. Hendrix, " Nanogram Nitrite and Nitrate Determination in Environmental and Biological Materials by Vanadium (III) Reduction with Chemiluminescence Detection ", Anal. Chem., 61, 2715-2718, 1989
9. T. Mitsuhashi, " Gas Chromatographic Determination of Trace Nitrite After Derivatization with Ethyl 3 - Oxobutanoate ", Journal of Chromatogr., 629, 339- 343, 1993
10. Hie-Joo Kim, Young-Kyung Kim, " Determination of Nitrite Water and Environmental Samples by Ion Exclusion Chromatography with Electrochemical Detection ", Anal.Chem., 61, 1485-1489, 1989
11. K.A. Smith, " Soil Analysis ", Marcel Dekker, Inc. New York, 1991

**ÖZGEÇMİŞ**

1969 yılında Samsun'da doğdum. İlk, orta ve lise tahsilimi Samsun'da tamamladım. 1990 yılında Ondokuz Mayıs Üniversitesi Fen Bilimleri Bölümü Kimya Eğitimi Anabilim Dalı'ndan mezun oldum. Aynı yıl mezun olduğum bölüme Araştırma Görevlisi olarak atandım. Halen aynı görevi sürdürmekteyim.



